

СИНТЕЗ И СВОЙСТВА  
НЕОРГАНИЧЕСКИХ СОЕДИНЕНИЙ

УДК 546.271

МЕХАНОХИМИЧЕСКИЙ СИНТЕЗ ПРОИЗВОДНЫХ  
КЛОЗО-ДЕКАБОРАТНОГО АНИОНА С ПЕНДАНТНЫМИ  
ФУНКЦИОНАЛЬНЫМИ ГРУППАМИ

© 2023 г. Е. Ю. Матвеев<sup>a, b, \*</sup>, А. С. Кубасов<sup>a</sup>, А. И. Ничуговский<sup>b</sup>,  
В. В. Авдеева<sup>a</sup>, К. Ю. Жижин<sup>a, b</sup>, Н. Т. Кузнецов<sup>a</sup>

<sup>a</sup>Институт общей и неорганической химии им. Н.С. Курнакова РАН,  
Ленинский пр-т, 31, Москва, 119991 Россия

<sup>b</sup>МИРЭА – Российский технологический университет (Институт тонких химических  
технологий им. М.В. Ломоносова), пр-т Вернадского, 86, Москва, 119571 Россия

\*e-mail: cat1983@yandex.ru

Поступила в редакцию 19.12.2022 г.

После доработки 09.01.2023 г.

Принята к публикации 17.01.2023 г.

Разработан новый метод получения производных клозо-декаборатного аниона с пендантными функциональными группами, заключающийся во взаимодействии 1,4-диоксанового, тетрагидропиранового и тетрагидрофуранового производных аниона  $[B_{10}H_{10}]^{2-}$  с C-, O-, S- и F-нуклеофильными реагентами (цианидом калия, гидроксидом калия, ацетатом натрия, гидросульфидом калия, тиоцианатом калия, тиосульфатом натрия и фторидом калия) в условиях механохимического синтеза. Показано, что данные реакции протекают через раскрытие экзополиэдрических заместителей оксониевого типа и приводят к образованию клозо-декаборатов с соответствующими C-, O-, S- и Hal-функциональными группами. Разработанный метод позволяет синтезировать производные аниона  $[B_{10}H_{10}]^{2-}$  с пендантными группами различного строения за малое время и без применения аprotонных полярных растворителей, что значительно облегчает процесс выделения продуктов. Полученные клозо-декабораты за счет наличия донорных центров различного типа могут быть использованы в качестве полидентатных лигандов для получения комплексных соединений *d*-элементов. Также синтезированные соединения могут быть платформой для дальнейшей функционализации за счет реакционной способности присоединенных пендантных групп. Полученные производные аниона  $[B_{10}H_{10}]^{2-}$  были исследованы методами элементного анализа, ИК-,  $^{11}B$ ,  $^{13}C$ ,  $^1H$  ЯМР-спектроскопии и ESI масс-спектрометрии. Строение соединения  $Cs_2[B_{10}H_9O(CH_2)_2O(CH_2)_2SCN]$  определено с помощью метода РСА.

**Ключевые слова:** механохимический синтез, кластерные анионы бора, клозо-декаборатный анион, раскрытие циклического заместителя, клозо-декабораты с пендантной функциональной группой,  $^{10}B$ -нейтронозахватная терапия

**DOI:** 10.31857/S0044457X22602243, **EDN:** UETDTF

ВВЕДЕНИЕ

Полиэдрические анионы клозо-типа  $[B_nH_n]^{2-}$  ( $n = 6–12$ ) привлекают интерес исследователей как полностью неорганические кластеры, характеризующиеся высокой устойчивостью к действию высоких температур и окислителей, при этом относительно легко подвергающиеся функционализации за счет замещения экзополиэдрических атомов водорода на различные функциональные группы [1–3]. Соединения на основе наиболее известных клозо-боратных анионов  $[B_{10}H_{10}]^{2-}$  и  $[B_{12}H_{12}]^{2-}$  перспективны для применения в различных областях науки и техники, например, в создании систем для хранения энергии, легких

композиционных материалов, материалов для электронной техники и т.д. [4–8]. Одним из самых интересных и актуальных представляется направление по использованию производных кластерных анионов бора в медицине, в том числе в синтезе соединений для диагностики и нейтронозахватной терапии злокачественных опухолей ( $^{10}B$ -NCT) [9–11]. Препараты на основе кластерных анионов бора и карборанов проявляют гаметоцидную и бактерицидную активность [12, 13], обладают противомикробным [14] и противовирусным [15–17] действием. В связи с этим поиск новых методов функционализации анионов  $[B_{10}H_{10}]^{2-}$  и  $[B_{12}H_{12}]^{2-}$  является актуальной задачей.

Для конструирования производных *клизо*-боратных анионов с заданными электронным и геометрическим строением и свойствами может применяться несколько подходов, включающих методы прямой функционализации борного кластера, а также модификацию уже введенных функциональных групп. Одним из наиболее удобных методов прямой функционализации *клизо*-декаборатного и *клизо*-додекаборатного анионов является замещение экзополиэдрических атомов водорода на разнообразные функциональные группы, протекающее по механизму электрофильно-индцируемого нуклеофильного замещения (electrophilic-induced nucleophilic substitution, EINS) [18–24]. Такой подход дает большие возможности для дизайна обширного круга *клизо*-боратов, содержащих экзополиэдрические связи В–О, В–N, В–S, В–C и т.д. Функционализация уже введенных заместителей позволяет кардинально расширить круг синтезируемых производных. Например, в последнее время набирает популярность подход, связанный с модификацией тиольных и нитрильных групп в соответствующих производных анионов  $[B_{10}H_{10}]^{2-}$  и  $[B_{12}H_{12}]^{2-}$  [25–32]. Замещенные *клизо*-бораты перспективны и в координационной химии *d*-элементов в роли полидентатных лигандов за счет наличия нескольких специфических донорных центров [33–36].

Непосредственная близость борного кластера часто накладывает определенную специфику на реакционную способность экзополиэдрических заместителей. Поэтому один из важнейших методов функционализации кластерных анионов бора связан с получением производных, содержащих пендантные функциональные группы, обособленные от борного полиэдра спейсерной цепью. Такие производные удобно получать за счет двухэтапной функционализации анионов  $[B_{10}H_{10}]^{2-}$ , которая включает в себя замещение экзополиэдрических атомов водорода на молекулы циклических простых эфиров с последующим взаимодействием образующихся продуктов с нуклеофильными реагентами. В ходе второго этапа происходит раскрытие присоединенных циклических заместителей оксониевого типа с образованием *клизо*-боратов с пендантными функциональными группами. Данный подход позволяет использовать обширный круг нуклеофильных реагентов с донорными атомами C-, N-, O-, S- и т.д., в том числе биологически активных [37–49]. Это преимущество в совокупности с регулированием типа введенного циклического заместителя дает возможность синтезировать *клизо*-бораты с заданным строением спейсерной цепи и пендантной группы.

Одним из недостатков данного подхода является частая необходимость использования аprotонных полярных растворителей, в том числе высококипящих, что приводит к значительным тру-

дозатратам в ходе выделения продуктов. Более того, некоторые реакции, протекающие в данных условиях, могут приводить к деструкции экзополиэдрического заместителя [43]. Эти нюансы в совокупности с относительно большим временем протекания реакций (иногда оно может достигать нескольких часов) делают необходимой разработку новых подходов к раскрытию циклических оксониевых заместителей в соответствующих производных *клизо*-боратных анионов.

В данной работе разработан новый метод получения производных *клизо*-декаборатного аниона с пендантными функциональными группами, заключающийся во взаимодействии тетрагидрофуранового, тетрагидропиранового и 1,4-диоксанового производных аниона  $[B_{10}H_{10}]^{2-}$  с C-, O-, S- и Hal-нуклеофильными реагентами (цианидом калия, гидроксидом калия, ацетатом натрия, гидросульфидом калия, тиоцианатом калия, тиосульфатом натрия и фторидом калия) в условиях механохимического синтеза. Данный способ является динамично развивающимся методом получения неорганических и координационных соединений без использования “мокрой химии” [50–52]. На данный момент примеры применения этого подхода в химии бороводородов и кластерных анионов бора достаточно редки и ограничиваются синтезом комплексных гидридов [53–55], производных карборанов [56–58], металлоборанов [59, 60], производных кластерных анионов бора [61] и комплексных соединений на их основе [62].

## ЭКСПЕРИМЕНТАЛЬНАЯ ЧАСТЬ

**Материалы.**  $[2-(1-(1,4-диоксаний))]$ нонагидро-*клизо*-декаборат тетрабутиламмония (*n*-Bu<sub>4</sub>N)[2-B<sub>10</sub>H<sub>9</sub>O(CH<sub>2</sub>)<sub>4</sub>O],  $[2-(1-(тетрагидропиран))]$ нонагидро-*клизо*-декаборат тетрабутиламмония (*n*-Bu<sub>4</sub>N)[2-B<sub>10</sub>H<sub>9</sub>O(CH<sub>2</sub>)<sub>5</sub>] и  $[2-(1-(тетрагидрофуран))]$ нонагидро-*клизо*-декаборат тетрабутиламмония (*n*-Bu<sub>4</sub>N)[2-B<sub>10</sub>H<sub>9</sub>O(CH<sub>2</sub>)<sub>4</sub>] были синтезированы по разработанной ранее методике [63]. Соединения 1,4-диоксан, тетрагидропиран и тетрагидрофуран очищали согласно [64]. Гидросульфид калия получали согласно [65]. Цианид калия (98%, Aldrich), гидроксид калия (х. ч., Химмед), ацетат натрия (99%, Aldrich), тиоцианат калия (99%, Aldrich), тиосульфат натрия (99%, Aldrich), фторид калия (99%, Aldrich), метанол (99.9%, Aldrich), фторид цезия (99%, Aldrich) использовали без дополнительной очистки.

**ИК-спектры** соединений записывали на ИК-Фурье-спектрометре ИНФРАЛЮМ ФТ-02 в области 400–4000 см<sup>-1</sup>. Образцы готовили в виде таблеток из смеси исследуемого соединения и КBr. <sup>1</sup>H, <sup>11</sup>B, <sup>13</sup>C ЯМР-спектры растворов исследуемых веществ в D<sub>2</sub>O записывали на ЯМР-спектрометре Bruker DPX-300 на частотах 300.3, 96.32 и 75.49 МГц

соответственно с внутренней стабилизацией по дейтерию.

**Масс-спектры** записывали с использованием четырехканального насоса Agilent 1200 (G1311A) и тройного квадрупольного масс-спектрометра TSQ Quantum Access MAX.

**Элементный анализ** на бор проводили на масс-спектрометре с индуктивно связанный плазмой ELAN DRC-e PerkinElmer. Содержание углерода, водорода и азота в образцах определяли на элементном CHNS-анализаторе Eurovector “EuroEA 3000”.

**PCA.** Кристаллы  $\text{Cs}_2[\text{B}_{10}\text{H}_9\text{O}(\text{CH}_2)_2\text{O}(\text{CH}_2)_2\text{SCN}]$  были получены изотермическим упариванием раствора соединения в метаноле. Набор дифракционных отражений для кристаллов  $\text{Cs}_2[\text{B}_{10}\text{H}_9\text{O}(\text{CH}_2)_2\text{O}(\text{CH}_2)_2\text{SCN}]$  получен в Центре коллективного пользования ИОНХ РАН на автоматическом дифрактометре Bruker APEX2 CCD ( $\lambda\text{MoK}_\alpha$ , графитовый монохроматор,  $\omega$ - $\phi$ -сканирование). Структуры расшифрованы прямым методом с последующим расчетом разностных синтезов Фурье. Все неводородные атомы уточнены в анизотропном приближении. Все атомы водорода в  $\text{Cs}_2[\text{B}_{10}\text{H}_9\text{O}(\text{CH}_2)_2\text{O}(\text{CH}_2)_2\text{SCN}]$  уточнены по модели “наездника” с тепловыми параметрами  $U_{\text{изо}} = 1.2 U_{\text{экв}}$  ( $U_{\text{изо}}$ ) соответствующего неподвижного атома.

При сборе и обработке массива отражений использовали программы APEX2, SAINT и SADABS [66–68]. Структура расшифрована и уточнена с помощью программ комплекса OLEX2 [69].

Основные кристаллографические данные, параметры эксперимента и характеристики уточнения структуры приведены в табл. 1.

Кристаллографические данные депонированы в Кембриджском банке структурных данных (CCDC № 2205579).

**Общая методика синтеза.** Навески 0.45 г (1.0 ммоль)  $(\text{Bu}_4\text{N})[2\text{-B}_{10}\text{H}_9\text{O}(\text{CH}_2)_4\text{O}]$ , 0.45 г (1.0 ммоль)  $(\text{Bu}_4\text{N})[2\text{-B}_{10}\text{H}_9\text{O}(\text{CH}_2)_5]$  или 0.45 г (1.0 ммоль)  $(\text{Bu}_4\text{N})[2\text{-B}_{10}\text{H}_9\text{O}(\text{CH}_2)_4]$  и 1.2 ммоль соли – нуклеофильного реагента (78 мг KCN, 67 мг KOH, 98 мг  $\text{CH}_3\text{COONa}$ , 86 мг KSH, 116 мг KSCN, 190 мг  $\text{Na}_2\text{S}_2\text{O}_3$ , 70 мг KF) тщательно перемешивали, пересыпали в стакан для помола в атмосфере аргона и добавляли стальные размольные шары. Далее проводили механохимическую обработку на вибрационной мельнице Retsch MM 400 при 25 Гц в течение 30 мин. После охлаждения стакана до комнатной температуры его открывали, к полученной смеси добавляли 10 мл метанола и при необходимости отфильтровывали выпавший осадок. К полученному фильтрату добавляли 1.1 мл 2 М раствора фторида цезия в метаноле (1.7 мл в случае продукта реакции с тиосульфатом натрия). Выпавший белый осадок отфильтровывали, перекристаллизовывали из смеси вода–ме-

**Таблица 1.** Основные кристаллографические данные, параметры эксперимента и уточнения структуры  $\text{Cs}_2[\text{B}_{10}\text{H}_9\text{O}(\text{CH}_2)_2\text{O}(\text{CH}_2)_2\text{SCN}]$

Соединение	$\text{Cs}_2[\text{B}_{10}\text{H}_9\text{O}(\text{CH}_2)_2\text{O}(\text{CH}_2)_2\text{SCN}]$
Брутто-формула	$\text{C}_5\text{H}_{17}\text{B}_{10}\text{Cs}_2\text{NO}_2\text{S}$
$M$	529.17
$T, \text{ К}$	150.00
Сингония	Орторомбическая
Пр. гр.	<i>Pnna</i>
$a, \text{\AA}$	24.464(3)
$b, \text{\AA}$	8.5741(8)
$c, \text{\AA}$	8.1135(9)
$V, \text{\AA}^3$	1701.9(3)
$Z$	4
$\rho_{\text{расч}}, \text{ г}/\text{см}^3$	2.065
$\mu, \text{ мм}^{-1}$	4.398
$F(000)$	984.0
Излучение, $\lambda, \text{\AA}$	0.71073
Число отражений:	
измеренных	4510
независимых ( $N$ )	1498 [ $R_{\text{int}} = 0.0631$ ]
$R_1, wR_2$ по $N_0$	$R_1 = 0.1388, wR_2 = 0.2633$
$R_1, wR_2$ по $N$	$R_1 = 0.1652, wR_2 = 0.2733$

танол (1 : 1) и сушили в глубоком вакууме при 60°C в течение 1 ч.

**2-[2-(2-Цианоэтокси)этокси]нонагидро-клизодекаборат цезия  $\text{Cs}_2[\text{B}_{10}\text{H}_9\text{O}(\text{CH}_2)_2\text{O}(\text{CH}_2)_2\text{CN}]$ .** Выход 0.46 г (92%).  $^1\text{H}$  ЯМР-спектр ( $\text{D}_2\text{O}, \delta, \text{ м.д.}$ ): 0.50...–0.50 (9Н, м,  $\text{B}_{10}\text{H}_9$ ), 2.97 (2Н, т,  $-\text{O}-\text{CH}_2-\text{CH}_2-\text{O}-\text{CH}_2-\text{CH}_2-\text{CH}_2-$ ), 3.65 (2Н, т,  $-\text{O}-\text{CH}_2-\text{CH}_2-\text{O}-\text{CH}_2-\text{CH}_2-$ ), 3.78 (2Н, т,  $-\text{O}-\text{CH}_2-\text{CH}_2-\text{O}-\text{CH}_2-\text{CH}_2-$ ), 3.94 (2Н, т,  $-\text{O}-\text{CH}_2-\text{CH}_2-\text{O}-\text{CH}_2-\text{CH}_2-$ ).  $^{11}\text{B}$  { $^1\text{H}$ } ЯМР-спектр ( $\text{D}_2\text{O}, \delta, \text{ м.д.}$ ): –34.0 (с, 1B, B (4)); –29.1 (с, 2B, B (7, 8)); –23.6 (с, 4B, B (3, 5) + B (6, 9)); –5.6 (с, 1B, B (10)); –3.1 (с, 1B, B (1)); –1.6 (с, 1B, B (2)).  $^{13}\text{C}$  ЯМР-спектр ( $\text{D}_2\text{O}, \delta, \text{ м.д.}$ ): 17.4 ( $-\text{O}-\text{CH}_2-\text{CH}_2-\text{O}-\text{CH}_2-\text{CH}_2-$ ), 64.4 ( $-\text{O}-\text{CH}_2-\text{CH}_2-\text{O}-\text{CH}_2-\text{CH}_2-$ ), 69.0 ( $-\text{O}-\text{CH}_2-\text{CH}_2-\text{O}-\text{CH}_2-\text{CH}_2-$ ), 70.3 ( $-\text{O}-\text{CH}_2-\text{CH}_2-\text{O}-\text{CH}_2-\text{CH}_2-$ ), 119.5 ( $\text{C}\equiv\text{N}$ ). ИК-спектр (KBr),  $\text{cm}^{-1}$ : 2453 ( $\nu(\text{B}-\text{H})$ ), 2243 ( $\nu(\text{C}\equiv\text{N})$ ), 1085 ( $\nu(\text{C}-\text{O})$ ). Найдено, %: C 11.81; H 3.39; N 2.78; B 21.60. Вычислено для  $\text{C}_5\text{H}_{17}\text{B}_{10}\text{NCs}_2\text{O}_2$ , %: C 12.08; H 3.45; N 2.82; B 21.75. ESI MS. Найдено, а.е.м.: 232.30  $\{[\text{B}_{10}\text{H}_9\text{O}(\text{CH}_2)_2\text{O}(\text{CH}_2)_2\text{CN}]^{2-} + \text{H}^+\}^-$ . ( $\text{C}_5\text{H}_{18}\text{B}_{10}\text{NO}_2$ ). Вычислено:  $M = 232.31$ . Найдено, а.е.м.: 364.19  $\{[\text{B}_{10}\text{H}_9\text{O}(\text{CH}_2)_2\text{O}(\text{CH}_2)_2\text{CN}]^{2-} + \text{Cs}^+\}^-$ . ( $\text{C}_5\text{H}_{17}\text{B}_{10}\text{NCsO}_2$ ). Вычислено:  $M = 364.21$ .

**2-[5-Цианопентокси]нонагидро-клоzo-декаборат цезия  $\text{Cs}_2[\text{B}_{10}\text{H}_9\text{O}(\text{CH}_2)_5\text{CN}]$ .** Выход 0.45 г (90%).  $^1\text{H}$  ЯМР-спектр ( $\text{D}_2\text{O}$ ,  $\delta$ , м.д.): 0.50...–0.50 (9Н, м,  $\text{B}_{10}\text{H}_9$ ), 1.23 (2Н, м,  $-\text{O}-\text{CH}_2-\text{CH}_2-\text{CH}_2-\text{CH}_2-\text{CH}_2-$ ); 1.41 (2Н, м,  $-\text{O}-\text{CH}_2-\text{CH}_2-\text{CH}_2-\text{CH}_2-\text{CH}_2-$ ); 1.48 (2Н, м,  $-\text{O}-\text{CH}_2-\text{CH}_2-\text{CH}_2-\text{CH}_2-\text{CH}_2-$ ); 2.27 (2Н, т,  $-\text{O}-\text{CH}_2-\text{CH}_2-\text{CH}_2-\text{CH}_2-\text{CH}_2-$ ); 3.08 (2Н, т,  $-\text{O}-\text{CH}_2-\text{CH}_2-\text{CH}_2-\text{CH}_2-\text{CH}_2-$ ).  $^{11}\text{B}$  { $^1\text{H}$ } ЯМР-спектр ( $\text{D}_2\text{O}$ ,  $\delta$ , м.д.): –34.6 (с, 1В, В (4)); –29.8 (с, 2В, В (7, 8)); –24.1 (с, 4В, В (3, 5) + В (6, 9)); –5.2 (с, 1В, В (10)); –3.1 (с, 1В, В (1)); –2.0 (с, 1В, В (2)).  $^{13}\text{C}$  ЯМР-спектр ( $\text{D}_2\text{O}$ ,  $\delta$ , м.д.): 22.9 ( $-\text{O}-\text{CH}_2-\text{CH}_2-\text{CH}_2-\text{CH}_2$ ); 30.2 ( $-\text{O}-\text{CH}_2-\text{CH}_2-\text{CH}_2-\text{CH}_2-\text{CH}_2$ ); 32.4 ( $-\text{O}-\text{CH}_2-\text{CH}_2-\text{CH}_2-\text{CH}_2-\text{CH}_2$ ); 51.4 ( $-\text{O}-\text{CH}_2-\text{CH}_2-\text{CH}_2-\text{CH}_2-\text{CH}_2$ ); 70.9 ( $-\text{O}-\text{CH}_2-\text{CH}_2-\text{CH}_2-\text{CH}_2-\text{CH}_2$ ), 118.5 ( $\text{C}\equiv\text{N}$ ). ИК-спектр (KBr),  $\text{cm}^{-1}$ : 2443 ( $\nu(\text{B}-\text{H})$ ), 2251 ( $\nu(\text{C}\equiv\text{N})$ ), 1089 ( $\nu(\text{C}-\text{O})$ ). Найдено, %: C 9.56; H 3.68; B 21.98. Вычислено для  $\text{C}_4\text{H}_{18}\text{B}_{10}\text{Cs}_2\text{O}_3$ , %: C 9.84; H 3.72; B 22.15. ESI MS. Найдено, а.е.м.: 223.29  $\{[\text{B}_{10}\text{H}_9\text{O}(\text{CH}_2)_2\text{O}(\text{CH}_2)_2\text{OH}]^{2-} + \text{H}^+\}^-$ . ( $\text{C}_4\text{H}_{19}\text{B}_{10}\text{O}_3$ ). Вычислено:  $M = 223.30$ . Найдено, а.е.м.: 355.18  $\{[\text{B}_{10}\text{H}_9\text{O}(\text{CH}_2)_2\text{O}(\text{CH}_2)_2\text{OH}]^{2-} + \text{Cs}^+\}^-$ . ( $\text{C}_4\text{H}_{18}\text{B}_{10}\text{CsO}_3$ ). Вычислено:  $M = 355.20$ .

**2-[4-цианобутокси]нонагидро-клоzo-декаборат цезия  $\text{Cs}_2[\text{B}_{10}\text{H}_9\text{O}(\text{CH}_2)_4\text{CN}]$ .** Выход 0.43 г (89%).  $^1\text{H}$  ЯМР-спектр ( $\text{D}_2\text{O}$ ,  $\delta$ , м.д.): 0.50...–0.50 (9Н, м,  $\text{B}_{10}\text{H}_9$ ), 1.17 (2Н, м,  $-\text{O}-\text{CH}_2-\text{CH}_2-\text{CH}_2-\text{CH}_2-$ ); 1.37 (2Н, м,  $-\text{O}-\text{CH}_2-\text{CH}_2-\text{CH}_2-\text{CH}_2$ ); 2.70 (2Н, т,  $-\text{O}-\text{CH}_2-\text{CH}_2-\text{CH}_2-\text{CH}_2-$ ); 2.90 (2Н, т,  $-\text{O}-\text{CH}_2-\text{CH}_2-\text{CH}_2-\text{CH}_2-$ ).  $^{11}\text{B}$  { $^1\text{H}$ } ЯМР-спектр ( $\text{D}_2\text{O}$ ,  $\delta$ , м.д.): –34.6 (с, 1В, В (4)); –28.8 (с, 2В, В (7, 8)); –23.4 (с, 4В, В (3, 5) + В (6, 9)); –4.9 (с, 1В, В (10)); –3.7 (с, 1В, В (1)); –1.6 (с, 1В, В (2)).  $^{13}\text{C}$  ЯМР-спектр ( $\text{D}_2\text{O}$ ,  $\delta$ , м.д.): 31.3 ( $-\text{O}-\text{CH}_2-\text{CH}_2-\text{CH}_2-\text{CH}_2$ ); 35.6 ( $-\text{O}-\text{CH}_2-\text{CH}_2-\text{CH}_2-\text{CH}_2$ ); 58.0 ( $-\text{O}-\text{CH}_2-\text{CH}_2-\text{CH}_2-\text{CH}_2$ ); 72.4 ( $-\text{O}-\text{CH}_2-\text{CH}_2-\text{CH}_2-\text{CH}_2$ ), 118.6 ( $\text{C}\equiv\text{N}$ ). ИК-спектр (KBr),  $\text{cm}^{-1}$ : 2450 ( $\nu(\text{B}-\text{H})$ ), 2255 ( $\nu(\text{C}\equiv\text{N})$ ), 1029 ( $\nu(\text{C}-\text{O})$ ). Найдено, %: C 12.15; H 3.50; N 2.86; B 22.29. Вычислено для  $\text{C}_5\text{H}_{17}\text{B}_{10}\text{Cs}_2\text{NO}$ , %: C 12.48; H 3.56; N 2.91; B 22.47. ESI MS. Найдено, а.е.м.: 216.30  $\{[\text{B}_{10}\text{H}_9\text{O}(\text{CH}_2)_4\text{CN}]^{2-} + \text{H}^+\}^-$ . ( $\text{C}_5\text{H}_{18}\text{B}_{10}\text{NO}$ ). Вычислено:  $M = 216.31$ . Найдено, а.е.м.: 348.19  $\{[\text{B}_{10}\text{H}_9\text{O}(\text{CH}_2)_4\text{CN}]^{2-} + \text{Cs}^+\}^-$ . ( $\text{C}_5\text{H}_{17}\text{B}_{10}\text{CsNO}$ ). Вычислено:  $M = 348.21$ .

**2-[2-(2-гидроксоэтокси)этокси]нонагидро-клоzo-декаборат цезия  $\text{Cs}_2[\text{B}_{10}\text{H}_9\text{O}(\text{CH}_2)_2\text{O}(\text{CH}_2)_2\text{OH}]$ .** Получено 0.46 г (выход 94%).  $^1\text{H}$  ЯМР-спектр ( $\text{D}_2\text{O}$ ,  $\delta$ , м.д.): 0.50...–0.50 (9Н, м,  $\text{B}_{10}\text{H}_9$ ), 3.09 (2Н, т,  $-\text{O}-\text{CH}_2-\text{CH}_2-\text{O}-\text{CH}_2-\text{CH}_2-$ ), 3.17 (2Н, т,  $-\text{O}-\text{CH}_2-\text{CH}_2-\text{O}-\text{CH}_2-\text{CH}_2-$ ), 3.70 (2Н, т,  $-\text{O}-\text{CH}_2-\text{CH}_2-\text{O}-\text{CH}_2-\text{CH}_2-$ ), 4.09 (2Н, т,  $-\text{O}-\text{CH}_2-\text{CH}_2-\text{CH}_2-$ ).

$-\text{CH}_2-\text{CH}_2-$ ).  $^{11}\text{B}$  { $^1\text{H}$ } ЯМР-спектр ( $\text{D}_2\text{O}$ ,  $\delta$ , м.д.): –34.2 (с, 1В, В (4)); –29.2 (с, 2В, В (7, 8)); –23.5 (с, 4В, В (3, 5) + В (6, 9)); –3.8 (с, 1В, В (10)); –2.8 (с, 1В, В (1)); –1.0 (с, 1В, В (2)).  $^{13}\text{C}$  ЯМР-спектр ( $\text{D}_2\text{O}$ ,  $\delta$ , м.д.): 53.6 ( $-\text{O}-\text{CH}_2-\text{CH}_2-\text{O}-\text{CH}_2-\text{CH}_2-$ ), 66.4 ( $-\text{O}-\text{CH}_2-\text{CH}_2-\text{O}-\text{CH}_2-\text{CH}_2-$ ), 70.4 ( $-\text{O}-\text{CH}_2-\text{CH}_2-\text{O}-\text{CH}_2-\text{CH}_2-$ ), 73.8 ( $-\text{O}-\text{CH}_2-\text{CH}_2-\text{O}-\text{CH}_2-\text{CH}_2-$ ). ИК-спектр (KBr),  $\text{cm}^{-1}$ : 3400 ( $\nu(\text{O}-\text{H})$ ), 2457 ( $\nu(\text{B}-\text{H})$ ), 1087 ( $\nu(\text{C}-\text{O}-\text{C})$ ). Найдено, %: C 9.56; H 3.68; B 21.98. Вычислено для  $\text{C}_4\text{H}_{18}\text{B}_{10}\text{Cs}_2\text{O}_3$ , %: C 9.84; H 3.72; B 22.15. ESI MS. Найдено, а.е.м.: 223.29  $\{[\text{B}_{10}\text{H}_9\text{O}(\text{CH}_2)_2\text{O}(\text{CH}_2)_2\text{OH}]^{2-} + \text{H}^+\}^-$ . ( $\text{C}_4\text{H}_{19}\text{B}_{10}\text{O}_3$ ). Вычислено:  $M = 223.30$ . Найдено, а.е.м.: 355.18  $\{[\text{B}_{10}\text{H}_9\text{O}(\text{CH}_2)_2\text{O}(\text{CH}_2)_2\text{OH}]^{2-} + \text{Cs}^+\}^-$ . ( $\text{C}_4\text{H}_{18}\text{B}_{10}\text{CsO}_3$ ). Вычислено:  $M = 355.20$ .

**2-[5-гидроксопентокси]нонагидро-клоzo-декаборат цезия  $\text{Cs}_2[\text{B}_{10}\text{H}_9\text{O}(\text{CH}_2)_5\text{OH}]$ .** Выход 0.44 г (90%).  $^1\text{H}$  ЯМР-спектр ( $\text{D}_2\text{O}$ ,  $\delta$ , м.д.): 0.50...–0.50 (9Н, м,  $\text{B}_{10}\text{H}_9$ ), 2.18 (2Н, м,  $-\text{O}-\text{CH}_2-\text{CH}_2-\text{CH}_2-\text{CH}_2-\text{CH}_2-$ ); 2.28 (2Н, м,  $-\text{O}-\text{CH}_2-\text{CH}_2-\text{CH}_2-\text{CH}_2-\text{CH}_2-$ ); 2.35 (2Н, м,  $-\text{O}-\text{CH}_2-\text{CH}_2-\text{CH}_2-\text{CH}_2-\text{CH}_2-$ ); 2.71 (2Н, т,  $-\text{O}-\text{CH}_2-\text{CH}_2-\text{CH}_2-\text{CH}_2-\text{CH}_2-$ ); 4.32 (2Н, т,  $-\text{O}-\text{CH}_2-\text{CH}_2-\text{CH}_2-\text{CH}_2-\text{CH}_2-$ ).  $^{11}\text{B}$  { $^1\text{H}$ } ЯМР-спектр ( $\text{D}_2\text{O}$ ,  $\delta$ , м.д.): –34.4 (с, 1В, В (4)); –28.8 (с, 2В, В (7, 8)); –23.5 (с, 4В, В (3, 5) + В (6, 9)); –5.8 (с, 1В, В (10)); –2.8 (с, 1В, В (1)); –0.8 (с, 1В, В (2)).  $^{13}\text{C}$  ЯМР-спектр ( $\text{D}_2\text{O}$ ,  $\delta$ , м.д.): 28.7 ( $-\text{O}-\text{CH}_2-\text{CH}_2-\text{CH}_2-\text{CH}_2$ ); 31.7 ( $-\text{O}-\text{CH}_2-\text{CH}_2-\text{CH}_2-\text{CH}_2-\text{CH}_2$ ); 40.2 ( $-\text{O}-\text{CH}_2-\text{CH}_2-\text{CH}_2-\text{CH}_2-\text{CH}_2$ ); 52.4 ( $-\text{O}-\text{CH}_2-\text{CH}_2-\text{CH}_2-\text{CH}_2-\text{CH}_2-\text{CH}_2$ ); 71.7 ( $-\text{O}-\text{CH}_2-\text{CH}_2-\text{CH}_2-\text{CH}_2-\text{CH}_2-\text{CH}_2$ ). ИК-спектр (KBr),  $\text{cm}^{-1}$ : 3396 ( $\nu(\text{O}-\text{H})$ ), 2476 ( $\nu(\text{B}-\text{H})$ ), 1082 ( $\nu(\text{C}-\text{O}-\text{C})$ ). Найдено, %: C 12.09; H 4.08; B 22.04. Вычислено для  $\text{C}_5\text{H}_{20}\text{B}_{10}\text{Cs}_2\text{O}_2$ , %: C 12.35; H 4.15; B 22.24. ESI MS. Найдено, а.е.м.: 221.33  $\{[\text{B}_{10}\text{H}_9\text{O}(\text{CH}_2)_5\text{OH}]^{2-} + \text{H}^+\}^-$ . ( $\text{C}_5\text{H}_{21}\text{B}_{10}\text{O}_2$ ). Вычислено:  $M = 221.33$ . Найдено, а.е.м.: 353.22  $\{[\text{B}_{10}\text{H}_9\text{O}(\text{CH}_2)_5\text{OH}]^{2-} + \text{Cs}^+\}^-$ . ( $\text{C}_5\text{H}_{20}\text{B}_{10}\text{CsO}_2$ ). Вычислено:  $M = 353.23$ .

**2-[4-гидроксобутокси]нонагидро-клоzo-декаборат цезия  $\text{Cs}_2[\text{B}_{10}\text{H}_9\text{O}(\text{CH}_2)_4\text{OH}]$ .** Выход 0.44 г (93%).  $^1\text{H}$  ЯМР-спектр ( $\text{D}_2\text{O}$ ,  $\delta$ , м.д.): 0.50...–0.50 (9Н, м,  $\text{B}_{10}\text{H}_9$ ), 1.36 (2Н, м,  $-\text{O}-\text{CH}_2-\text{CH}_2-\text{CH}_2-\text{CH}_2-$ ); 1.42 (2Н, м,  $-\text{O}-\text{CH}_2-\text{CH}_2-\text{CH}_2-\text{CH}_2-$ ); 3.10 (2Н, т,  $-\text{O}-\text{CH}_2-\text{CH}_2-\text{CH}_2-\text{CH}_2-$ ); 3.26 (2Н, т,  $-\text{O}-\text{CH}_2-\text{CH}_2-\text{CH}_2-\text{CH}_2-$ ).  $^{11}\text{B}$  { $^1\text{H}$ } ЯМР-спектр ( $\text{D}_2\text{O}$ ,  $\delta$ , м.д.): –33.6 (с, 1В, В (4)); –28.8 (с, 2В, В (7, 8)); –23.6 (с, 4В, В (3, 5) + В (6, 9)); –5.2 (с, 1В, В (10)); –2.8 (с, 1В, В (1)); –0.8 (с, 1В, В (2)).  $^{13}\text{C}$  ЯМР-спектр ( $\text{D}_2\text{O}$ ,  $\delta$ , м.д.): 28.2 ( $-\text{O}-\text{CH}_2-\text{CH}_2-\text{CH}_2-\text{CH}_2$ ); 30.1 ( $-\text{O}-\text{CH}_2-\text{CH}_2-\text{CH}_2-\text{CH}_2$ ); 53.4 ( $-\text{O}-\text{CH}_2-\text{CH}_2-\text{CH}_2-\text{CH}_2-\text{CH}_2$ ); 74.3 ( $-\text{O}-\text{CH}_2-\text{CH}_2-\text{CH}_2-\text{CH}_2-\text{CH}_2$ ). ИК-спектр (KBr),

$\text{см}^{-1}$ : 3989 ( $\nu(\text{O}-\text{H})$ ), 2454 ( $\nu(\text{B}-\text{H})$ ), 890 ( $\nu(\text{C}-\text{O}-\text{C})$ ). Найдено, %: C 9.88; H 3.77; B 22.70. Вычислено для  $\text{C}_4\text{H}_{18}\text{B}_{10}\text{Cs}_2\text{O}_2$ , %: C 10.18; H 3.84; B 22.90. ESI MS. Найдено, а.е.м.: 207.28  $\{[\text{B}_{10}\text{H}_9\text{O}(\text{CH}_2)_4\text{OH}]^{2-} + \text{H}^+\}^-$ . ( $\text{C}_4\text{H}_{19}\text{B}_{10}\text{O}_2$ ). Вычислено:  $M = 207.30$ . Найдено, а.е.м.: 339.19  $\{[\text{B}_{10}\text{H}_9\text{O}(\text{CH}_2)_4\text{OH}]^{2-} + \text{Cs}^+\}^-$ . ( $\text{C}_4\text{H}_{18}\text{B}_{10}\text{CsO}_2$ ). Вычислено:  $M = 339.20$ .

**2-[2-(2-ацетоксиэтокси)этокси]нонагидро-кло-  
зо-декаборат цезия  $\text{Cs}_2[\text{B}_{10}\text{H}_9\text{O}(\text{CH}_2)_2\text{O}(\text{CH}_2)_2\text{OC(O)CH}_3]$ .** Получено 0.47 г (выход 88%).  $^1\text{H}$  ЯМР-спектр ( $\text{D}_2\text{O}$ ,  $\delta$ , м.д.): 0.50...-0.50 (9H, м,  $\text{B}_{10}\text{H}_9$ ), 3.10 (2H, т,  $-\text{O}-\text{CH}_2-\text{CH}_2-\text{O}-\text{CH}_2-\text{CH}_2-$ ), 3.19 (2H, т,  $-\text{O}-\text{CH}_2-\text{CH}_2-\text{O}-\text{CH}_2-\text{CH}_2-$ ), 3.59 (3H, с,  $-\text{OC(O)CH}_3$ ), 3.74 (2H, т,  $-\text{O}-\text{CH}_2-\text{CH}_2-\text{O}-\text{CH}_2-\text{CH}_2-$ ), 4.20 (2H, т,  $-\text{O}-\text{CH}_2-\text{CH}_2-\text{O}-\text{CH}_2-\text{CH}_2-$ ).  $^{11}\text{B}$   $\{^1\text{H}\}$  ЯМР-спектр ( $\text{D}_2\text{O}$ ,  $\delta$ , м.д.): -34.4 (c, 1B, B (4)); -29.3 (c, 2B, B (7, 8)); -23.7 (c, 4B, B (3, 5) + + B (6, 9)); -4.1 (c, 1B, B (10)); -2.8 (c, 1B, B (1)); -1.1 (c, 1B, B (2)).  $^{13}\text{C}$  ЯМР-спектр ( $\text{D}_2\text{O}$ ,  $\delta$ , м.д.): 28.9 ( $-\text{OC(O)CH}_3$ ), 53.8 ( $-\text{O}-\text{CH}_2-\text{CH}_2-\text{O}-\text{CH}_2-\text{CH}_2-$ ), 66.7 ( $-\text{O}-\text{CH}_2-\text{CH}_2-\text{O}-\text{CH}_2-\text{CH}_2-$ ), 70.5 ( $-\text{O}-\text{CH}_2-\text{CH}_2-\text{O}-\text{CH}_2-\text{CH}_2-$ ), 75.4 ( $-\text{O}-\text{CH}_2-\text{CH}_2-\text{O}-\text{CH}_2-\text{CH}_2-$ ), 151.6 ( $-\text{OC(O)CH}_3$ ). ИК-спектр (KBr),  $\text{см}^{-1}$ : 2476 ( $\nu(\text{B}-\text{H})$ ), 1670 ( $\nu(\text{C=O})$ ). Найдено, %: C 13.30; H 3.76; B 20.21. Вычислено для  $\text{C}_6\text{H}_{20}\text{B}_{10}\text{Cs}_2\text{O}_4$ , %: C 13.59; H 3.80; B 20.39. ESI MS. Найдено, а.е.м.: 265.33  $\{[\text{B}_{10}\text{H}_9\text{O}(\text{CH}_2)_2\text{O}(\text{CH}_2)_2\text{OC(O)CH}_3]^{2-} + \text{H}^+\}^-$ . ( $\text{C}_6\text{H}_{21}\text{B}_{10}\text{O}_4$ ). Вычислено:  $M = 265.34$ . Найдено, а.е.м.: 397.23  $\{[\text{B}_{10}\text{H}_9\text{O}(\text{CH}_2)_2\text{O}(\text{CH}_2)_2\text{OC(O)CH}_3]^{2-} + \text{Cs}^+\}^-$ . ( $\text{C}_6\text{H}_{20}\text{B}_{10}\text{CsO}_4$ ). Вычислено:  $M = 397.24$ .

**2-[5-ацетоксипентокси]нонагидро-кло-  
зо-декаборат цезия  $\text{Cs}_2[\text{B}_{10}\text{H}_9\text{O}(\text{CH}_2)_5\text{OC(O)CH}_3]$ .** Выход 0.45 г (85%).  $^1\text{H}$  ЯМР-спектр ( $\text{D}_2\text{O}$ ,  $\delta$ , м.д.): 0.50...-0.50 (9H, м,  $\text{B}_{10}\text{H}_9$ ), 2.20 (2H, м,  $-\text{O}-\text{CH}_2-\text{CH}_2-\text{CH}_2-\text{CH}_2-\text{CH}_2-$ ); 2.31 (2H, м,  $-\text{O}-\text{CH}_2-\text{CH}_2-\text{CH}_2-\text{CH}_2-\text{CH}_2-$ ); 2.35 (2H, м,  $-\text{O}-\text{CH}_2-\text{CH}_2-\text{CH}_2-\text{CH}_2-\text{CH}_2-$ ); 2.56 (3H, с,  $-\text{OC(O)CH}_3$ ); 2.74 (2H, т,  $-\text{O}-\text{CH}_2-\text{CH}_2-\text{CH}_2-\text{CH}_2-\text{CH}_2-$ ); 4.45 (2H, т,  $-\text{O}-\text{CH}_2-\text{CH}_2-\text{CH}_2-\text{CH}_2-\text{CH}_2-$ ).  $^{11}\text{B}$   $\{^1\text{H}\}$  ЯМР-спектр ( $\text{D}_2\text{O}$ ,  $\delta$ , м.д.): -34.1 (c, 1B, B (4)); -28.5 (c, 2B, B (7, 8)); -23.4 (c, 4B, B (3, 5) + B (6, 9)); -5.7 (c, 1B, B (10)); -2.1 (c, 1B, B (1)); -0.6 (c, 1B, B (2)).  $^{13}\text{C}$  ЯМР-спектр ( $\text{D}_2\text{O}$ ,  $\delta$ , м.д.): 25.1 ( $-\text{OC(O)CH}_3$ ); 28.5 ( $-\text{O}-\text{CH}_2-\text{CH}_2-\text{CH}_2-\text{CH}_2-\text{CH}_2$ ); 31.8 ( $-\text{O}-\text{CH}_2-\text{CH}_2-\text{CH}_2-\text{CH}_2-\text{CH}_2$ ); 40.4 ( $-\text{O}-\text{CH}_2-\text{CH}_2-\text{CH}_2-\text{CH}_2-\text{CH}_2$ ); 52.9 ( $-\text{O}-\text{CH}_2-\text{CH}_2-\text{CH}_2-\text{CH}_2-\text{CH}_2$ ); 72.3 ( $-\text{O}-\text{CH}_2-\text{CH}_2-\text{CH}_2-\text{CH}_2-\text{CH}_2$ ), 151.2 ( $-\text{OC(O)CH}_3$ ). ИК-спектр (KBr),  $\text{см}^{-1}$ : 2485 ( $\nu(\text{B}-\text{H})$ ), 1681 ( $\nu(\text{C=O})$ ). Найдено, %: C 15.64; H 4.16; B 20.32. Вычислено для  $\text{C}_7\text{H}_{22}\text{B}_{10}\text{Cs}_2\text{O}_3$ , %: C 15.92; H 4.20; B 20.47. ESI MS. Найдено, а.е.м.: 263.36  $\{[\text{B}_{10}\text{H}_9\text{O}(\text{CH}_2)_5\text{OC(O)CH}_3]^{2-} + \text{H}^+\}^-$ . ( $\text{C}_7\text{H}_{23}\text{B}_{10}\text{O}_3$ ).

Вычислено:  $M = 263.37$ . Найдено, а.е.м.: 395.25  $\{[\text{B}_{10}\text{H}_9\text{O}(\text{CH}_2)_5\text{OC(O)CH}_3]^{2-} + \text{Cs}^+\}^-$ . ( $\text{C}_7\text{H}_{22}\text{B}_{10}\text{CsO}_3$ ). Вычислено:  $M = 395.26$ .

**2-[4-ацетоксибутокси]нонагидро-кло-  
зо-декаборат цезия  $\text{Cs}_2[\text{B}_{10}\text{H}_9\text{O}(\text{CH}_2)_4\text{OC(O)CH}_3]$ .** Выход 0.43 г (84%).  $^1\text{H}$  ЯМР-спектр ( $\text{D}_2\text{O}$ ,  $\delta$ , м.д.): 0.50...-0.50 (9H, м,  $\text{B}_{10}\text{H}_9$ ), 1.36 (2H, м,  $-\text{O}-\text{CH}_2-\text{CH}_2-\text{CH}_2-\text{CH}_2-$ ); 1.43 (2H, м,  $-\text{O}-\text{CH}_2-\text{CH}_2-\text{CH}_2-\text{CH}_2-$ ); 2.58 (3H, с,  $-\text{OC(O)CH}_3$ ); 3.10 (2H, т,  $-\text{O}-\text{CH}_2-\text{CH}_2-\text{CH}_2-\text{CH}_2-$ ); 3.38 (2H, т,  $-\text{O}-\text{CH}_2-\text{CH}_2-\text{CH}_2-\text{CH}_2-$ ).  $^{11}\text{B}$   $\{^1\text{H}\}$  ЯМР-спектр ( $\text{D}_2\text{O}$ ,  $\delta$ , м.д.): -33.2 (c, 1B, B (4)); -28.9 (c, 2B, B (7, 8)); -23.6 (c, 4B, B (3, 5) + B (6, 9)); -5.1 (c, 1B, B (10)); -3.1 (c, 1B, B (1)); -1.4 (c, 1B, B (2)).  $^{13}\text{C}$  ЯМР-спектр ( $\text{D}_2\text{O}$ ,  $\delta$ , м.д.): 23.8 ( $-\text{OC(O)CH}_3$ ); 28.4 ( $-\text{O}-\text{CH}_2-\text{CH}_2-\text{CH}_2-\text{CH}_2-$ ); 30.3 ( $-\text{O}-\text{CH}_2-\text{CH}_2-\text{CH}_2-\text{CH}_2-$ ); 53.4 ( $-\text{O}-\text{CH}_2-\text{CH}_2-\text{CH}_2-\text{CH}_2-$ ); 76.5 ( $-\text{O}-\text{CH}_2-\text{CH}_2-\text{CH}_2-\text{CH}_2-$ ), 151.5 ( $-\text{OC(O)CH}_3$ ). ИК-спектр (KBr),  $\text{см}^{-1}$ : 2491 ( $\nu(\text{B}-\text{H})$ ), 1672 ( $\nu(\text{C=O})$ ). Найдено, %: C 13.80; H 3.87; B 20.89. Вычислено для  $\text{C}_6\text{H}_{20}\text{B}_{10}\text{Cs}_2\text{O}_3$ , %: C 14.02; H 3.92; B 21.02. ESI MS. Найдено, а.е.м.: 249.34  $\{[\text{B}_{10}\text{H}_9\text{O}(\text{CH}_2)_4\text{OC(O)CH}_3]^{2-} + \text{H}^+\}^-$ . ( $\text{C}_6\text{H}_{21}\text{B}_{10}\text{O}_3$ ). Вычислено:  $M = 249.34$ . Найдено, а.е.м.: 381.23  $\{[\text{B}_{10}\text{H}_9\text{O}(\text{CH}_2)_4\text{OC(O)CH}_3]^{2-} + \text{Cs}^+\}^-$ . ( $\text{C}_6\text{H}_{20}\text{B}_{10}\text{CsO}_3$ ). Вычислено:  $M = 381.24$ .

**2-[2-(2-меркаптоэтокси)этокси]нонагидро-кло-  
зо-декаборат цезия  $\text{Cs}_2[\text{B}_{10}\text{H}_9\text{O}(\text{CH}_2)_2\text{O}(\text{CH}_2)_2\text{SH}]$ .** Получено 0.46 г (выход 92%).  $^1\text{H}$  ЯМР-спектр ( $\text{D}_2\text{O}$ ,  $\delta$ , м.д.): 0.50...-0.50 (9H, м,  $\text{B}_{10}\text{H}_9$ ), 3.23 (2H, т,  $-\text{O}-\text{CH}_2-\text{CH}_2-\text{O}-\text{CH}_2-\text{CH}_2-$ ), 3.70 (2H, т,  $-\text{O}-\text{CH}_2-\text{CH}_2-\text{O}-\text{CH}_2-\text{CH}_2-$ ), 3.94 (2H, т,  $-\text{O}-\text{CH}_2-\text{CH}_2-\text{O}-\text{CH}_2-\text{CH}_2-$ ), 4.09 (2H, т,  $-\text{O}-\text{CH}_2-\text{CH}_2-\text{O}-\text{CH}_2-\text{CH}_2-$ ).  $^{11}\text{B}$   $\{^1\text{H}\}$  ЯМР-спектр ( $\text{D}_2\text{O}$ ,  $\delta$ , м.д.): -34.0 (c, 1B, B (4)); -28.7 (c, 2B, B (7, 8)); -23.5 (c, 4B, B (3, 5) + B (6, 9)); -7.4 (c, 1B, B (10)); -4.1 (c, 1B, B (1)); 1.5 (c, 1B, B (2)).  $^{13}\text{C}$  ЯМР-спектр ( $\text{D}_2\text{O}$ ,  $\delta$ , м.д.): 47.6 ( $-\text{O}-\text{CH}_2-\text{CH}_2-\text{O}-\text{CH}_2-\text{CH}_2-$ ), 69.6 ( $-\text{O}-\text{CH}_2-\text{CH}_2-\text{O}-\text{CH}_2-\text{CH}_2-$ ), 70.1 ( $-\text{O}-\text{CH}_2-\text{CH}_2-\text{O}-\text{CH}_2-\text{CH}_2-$ ), 72.4 ( $-\text{O}-\text{CH}_2-\text{CH}_2-\text{O}-\text{CH}_2-\text{CH}_2-$ ). ИК-спектр (KBr),  $\text{см}^{-1}$ : 2686 ( $\nu(\text{C-H})$  S-CH<sub>2</sub>), 2451 ( $\nu(\text{B}-\text{H})$ ), 1082 ( $\nu(\text{C=O})$ ). Найдено, %: C 9.21; H 3.53; S 6.31; B 21.28. Вычислено для  $\text{C}_4\text{H}_{18}\text{B}_{10}\text{Cs}_2\text{O}_2\text{S}$ , %: C 9.53; H 3.60; S 6.36; B 21.44. ESI MS. Найдено, а.е.м.: 239.37  $\{[\text{B}_{10}\text{H}_9\text{O}(\text{CH}_2)_2\text{O}(\text{CH}_2)_2\text{SH}]^{2-} + \text{H}^+\}^-$ . ( $\text{C}_4\text{H}_{19}\text{B}_{10}\text{O}_2\text{S}$ ). Вычислено:  $M = 239.37$ . Найдено, а.е.м.: 371.25  $\{[\text{B}_{10}\text{H}_9\text{O}(\text{CH}_2)_2\text{O}(\text{CH}_2)_2\text{SH}]^{2-} + \text{Cs}^+\}^-$ . ( $\text{C}_4\text{H}_{18}\text{B}_{10}\text{CsO}_2\text{S}$ ). Вычислено:  $M = 371.26$ .

**2-[5-меркаптопентокси]нонагидро-кло-  
зо-декаборат цезия  $\text{Cs}_2[\text{B}_{10}\text{H}_9\text{O}(\text{CH}_2)_5\text{SH}]$ .** Выход 0.43 г (85%).  $^1\text{H}$  ЯМР-спектр ( $\text{D}_2\text{O}$ ,  $\delta$ , м.д.): 0.50...-0.50 (9H, м,  $\text{B}_{10}\text{H}_9$ ), 1.17 (2H, м,  $-\text{O}-\text{CH}_2-\text{CH}_2-\text{CH}_2-\text{CH}_2-$ ); 1.38 (2H, м,  $-\text{O}-\text{CH}_2-\text{CH}_2-\text{CH}_2-\text{CH}_2-$ ); 2.16 (2H, т,  $-\text{O}-\text{CH}_2-\text{CH}_2-\text{CH}_2-\text{CH}_2-$ ); 2.56 (3H, с,  $-\text{OC(O)SH}$ ); 3.10 (2H, т,  $-\text{O}-\text{CH}_2-\text{CH}_2-\text{CH}_2-\text{CH}_2-$ ); 3.38 (2H, т,  $-\text{O}-\text{CH}_2-\text{CH}_2-\text{CH}_2-\text{CH}_2-$ ). ИК-спектр (KBr),  $\text{см}^{-1}$ : 2485 ( $\nu(\text{B}-\text{H})$ ), 1681 ( $\nu(\text{C=O})$ ). Найдено, %: C 15.64; H 4.16; B 20.32. Вычислено для  $\text{C}_7\text{H}_{22}\text{B}_{10}\text{Cs}_2\text{O}_3$ , %: C 15.92; H 4.20; B 20.47. ESI MS. Найдено, а.е.м.: 263.36  $\{[\text{B}_{10}\text{H}_9\text{O}(\text{CH}_2)_5\text{OC(O)SH}]^{2-} + \text{H}^+\}^-$ . ( $\text{C}_7\text{H}_{23}\text{B}_{10}\text{O}_3$ ).

$\text{CH}_2-\text{CH}_2-$ ; 1.46 (2H, м,  $-\text{O}-\text{CH}_2-\text{CH}_2-\text{CH}_2-\text{CH}_2-\text{CH}_2-$ ); 2.21 (2H, т,  $-\text{O}-\text{CH}_2-\text{CH}_2-\text{CH}_2-\text{CH}_2-\text{CH}_2-$ ); 3.09 (2H, т,  $-\text{O}-\text{CH}_2-\text{CH}_2-\text{CH}_2-\text{CH}_2-\text{CH}_2-$ ).  $^{11}\text{B}$  { $^1\text{H}$ } ЯМР-спектр ( $\text{D}_2\text{O}$ , δ, м.д.): -34.2 (с, 1B, B (4)); -29.5 (с, 2B, B (7, 8)); -24.0 (с, 4B, B (3, 5) + B (6, 9)); -5.1 (с, 1B, B (10)); -3.3 (с, 1B, B (1)); -2.0 (с, 1B, B (2)).  $^{13}\text{C}$  ЯМР-спектр ( $\text{D}_2\text{O}$ , δ, м.д.): 20.2 ( $-\text{O}-\text{CH}_2-\text{CH}_2-\text{CH}_2-\text{CH}_2-\text{CH}_2-$ ); 29.9 ( $-\text{O}-\text{CH}_2-\text{CH}_2-\text{CH}_2-\text{CH}_2-\text{CH}_2-$ ); 32.1 ( $-\text{O}-\text{CH}_2-\text{CH}_2-\text{CH}_2-\text{CH}_2-\text{CH}_2-$ ); 51.1 ( $-\text{O}-\text{CH}_2-\text{CH}_2-\text{CH}_2-\text{CH}_2-\text{CH}_2-$ ); 70.9 ( $-\text{O}-\text{CH}_2-\text{CH}_2-\text{CH}_2-\text{CH}_2-\text{CH}_2-$ ). ИК-спектр (KBr), см $^{-1}$ : 2692 (ν(C—H) S—CH<sub>2</sub>), 2455 (ν(B—H)), 1082 (ν(C—O)). Найдено, %: C 9.27; H 3.54; S 6.30; B 21.30. Вычислено для  $\text{C}_4\text{H}_{18}\text{B}_{10}\text{Cs}_2\text{O}_2\text{S}$ , %: C 9.53; H 3.60; S 6.36; B 21.44. ESI MS. Найдено, а.е.м.: 239.37 {[ $\text{B}_{10}\text{H}_9\text{O}(\text{CH}_2)_5\text{SH}$ ] $^{2-}$  + H $^+$ }. ( $\text{C}_4\text{H}_{18}\text{B}_{10}\text{CsO}_2\text{S}$ ). Вычислено: M = 239.37. Найдено, а.е.м.: 371.26 {[ $\text{B}_{10}\text{H}_9\text{O}(\text{CH}_2)_5\text{SH}$ ] $^{2-}$  + Cs $^+$ }. ( $\text{C}_4\text{H}_{18}\text{B}_{10}\text{CsO}_2\text{S}$ ). Вычислено: M = 371.27.

**2-[4-меркаптобутилокси]нонагидро-клоzo-декаборат цезия  $\text{Cs}_2[\text{B}_{10}\text{H}_9\text{O}(\text{CH}_2)_4\text{SH}]$ .** Выход 0.44 г (91%).  $^1\text{H}$  ЯМР-спектр ( $\text{D}_2\text{O}$ , δ, м.д.): 0.5...-0.50 (9H, м, B<sub>10</sub>H<sub>9</sub>), 2.54 (2H, м,  $-\text{O}-\text{CH}_2-\text{CH}_2-\text{CH}_2-\text{CH}_2-$ ); 2.78 (2H, м,  $-\text{O}-\text{CH}_2-\text{CH}_2-\text{CH}_2-\text{CH}_2-$ ); 2.90 (2H, т,  $-\text{O}-\text{CH}_2-\text{CH}_2-\text{CH}_2-\text{CH}_2-$ ); 3.51 (2H, т,  $-\text{O}-\text{CH}_2-\text{CH}_2-\text{CH}_2-\text{CH}_2-$ ).  $^{11}\text{B}$  { $^1\text{H}$ } ЯМР-спектр ( $\text{D}_2\text{O}$ , δ, м.д.): -33.8 (с, 1B, B (4)); -29.6 (с, 2B, B (7, 8)); -23.6 (с, 4B, B (3, 5) + B (6, 9)); -6.1 (с, 1B, B (10)); -2.7 (с, 1B, B (1)); -1.3 (с, 1B, B (2)).  $^{13}\text{C}$  ЯМР-спектр ( $\text{D}_2\text{O}$ , δ, м.д.): 25.2 ( $-\text{O}-\text{CH}_2-\text{CH}_2-\text{CH}_2-\text{CH}_2-$ ); 28.2 ( $-\text{O}-\text{CH}_2-\text{CH}_2-\text{CH}_2-\text{CH}_2-$ ); 38.4 ( $-\text{O}-\text{CH}_2-\text{CH}_2-\text{CH}_2-\text{CH}_2-\text{CH}_2-$ ); 72.5 ( $-\text{O}-\text{CH}_2-\text{CH}_2-\text{CH}_2-\text{CH}_2-\text{CH}_2-$ ). ИК-спектр (KBr), см $^{-1}$ : 2690 (ν(C—H) S—CH<sub>2</sub>), 2459 (ν(B—H)), 1079 (ν(C—O—C)). Найдено, %: C 9.59; H 3.67; S 6.51; B 22.00. Вычислено для  $\text{C}_4\text{H}_{18}\text{B}_{10}\text{Cs}_2\text{OS}$ , %: C 9.84; H 3.72; S 6.57; B 22.15. ESI MS. Найдено, а.е.м.: 223.36 {[ $\text{B}_{10}\text{H}_9\text{O}(\text{CH}_2)_4\text{SH}$ ] $^{2-}$  + H $^+$ }. ( $\text{C}_4\text{H}_{19}\text{B}_{10}\text{OS}$ ). Вычислено: M = 223.37. Найдено, а.е.м.: 355.25 {[ $\text{B}_{10}\text{H}_9\text{O}(\text{CH}_2)_4\text{SH}$ ] $^{2-}$  + Cs $^+$ }. ( $\text{C}_4\text{H}_{18}\text{B}_{10}\text{CsOS}$ ). Вычислено: M = 355.27.

**2-[2-(S-тиоцианато)этокси]этокси]нонагидро-клоzo-декаборат цезия  $\text{Cs}_2[\text{B}_{10}\text{H}_9\text{O}(\text{CH}_2)_2\text{O}(\text{CH}_2)_2\text{SCN}]$ .** Получено 0.48 г (выход 91%).  $^1\text{H}$  ЯМР-спектр ( $\text{D}_2\text{O}$ , δ, м.д.): 0.50...-0.50 (9H, м, B<sub>10</sub>H<sub>9</sub>), 3.28 (2H, т,  $-\text{O}-\text{CH}_2-\text{CH}_2-\text{O}-\text{CH}_2-\text{CH}_2-$ ), 3.77 (2H, т,  $-\text{O}-\text{CH}_2-\text{CH}_2-\text{O}-\text{CH}_2-\text{CH}_2-$ ), 3.96 (2H, т,  $-\text{O}-\text{CH}_2-\text{CH}_2-\text{O}-\text{CH}_2-\text{CH}_2-$ ), 4.25 (2H, т,  $-\text{O}-\text{CH}_2-\text{CH}_2-\text{O}-\text{CH}_2-\text{CH}_2-$ ).  $^{11}\text{B}$  { $^1\text{H}$ } ЯМР-спектр ( $\text{D}_2\text{O}$ , δ, м.д.): -33.6 (с, 1B, B (4)); -29.3 (с, 2B, B (7, 8)); -23.5 (с, 4B, B (3, 5) + B (6, 9)); -7.1 (с, 1B, B (10)); -2.8 (с, 1B, B (1)); -1.5 (с, 1B, B (2)).  $^{13}\text{C}$  ЯМР-спектр ( $\text{D}_2\text{O}$ , δ, м.д.): 38.6 ( $-\text{O}-\text{CH}_2-$

$\text{CH}_2-\text{O}-\text{CH}_2-\text{CH}_2-$ ), 68.5 ( $-\text{O}-\text{CH}_2-\text{CH}_2-\text{O}-\text{CH}_2-\text{CH}_2-$ ), 72.9 ( $-\text{O}-\text{CH}_2-\text{CH}_2-\text{O}-\text{CH}_2-\text{CH}_2-$ ), 104.1 (S—C≡N). ИК-спектр (KBr), см $^{-1}$ : 2488 (ν(B—H)), 2135 (ν(C≡N) S—C≡N). Найдено, %: C 11.04; H 3.19; N 2.60; S 5.99; B 20.29. Вычислено для  $\text{C}_5\text{H}_{17}\text{B}_{10}\text{Cs}_2\text{NO}_2\text{S}$ , %: C 11.35; H 3.24; N 2.65; S 6.06; B 20.43. ESI MS. Найдено, а.е.м.: 264.36 {[ $\text{B}_{10}\text{H}_9\text{O}(\text{CH}_2)_2\text{O}(\text{CH}_2)_2\text{SCN}$ ] $^{2-}$  + H $^+$ }. ( $\text{C}_5\text{H}_{18}\text{B}_{10}\text{NO}_2\text{S}$ ). Вычислено: M = 264.38. Найдено, а.е.м.: 396.26 {[ $\text{B}_{10}\text{H}_9\text{O}(\text{CH}_2)_2\text{O}(\text{CH}_2)_2\text{SCN}$ ] $^{2-}$  + Cs $^+$ }. ( $\text{C}_5\text{H}_{17}\text{B}_{10}\text{CsNO}_2\text{S}$ ). Вычислено: M = 396.27.

**2-[5-(S-тиоцианато)пентокси]нонагидро-клоzo-декаборат цезия  $\text{Cs}_2[\text{B}_{10}\text{H}_9\text{O}(\text{CH}_2)_5\text{SCN}]$ .** Выход 0.46 г (88%).  $^1\text{H}$  ЯМР-спектр ( $\text{D}_2\text{O}$ , δ, м.д.): 0.50...-0.50 (9H, м, B<sub>10</sub>H<sub>9</sub>), 2.21 (2H, м,  $-\text{O}-\text{CH}_2-\text{CH}_2-\text{CH}_2-\text{CH}_2-\text{CH}_2-$ ); 2.33 (2H, м,  $-\text{O}-\text{CH}_2-\text{CH}_2-\text{CH}_2-\text{CH}_2-\text{CH}_2-$ ); 2.38 (2H, м,  $-\text{O}-\text{CH}_2-\text{CH}_2-\text{CH}_2-\text{CH}_2-\text{CH}_2-$ ); 2.85 (2H, т,  $-\text{O}-\text{CH}_2-\text{CH}_2-\text{CH}_2-\text{CH}_2-\text{CH}_2-\text{CH}_2-$ ); 4.34 (2H, т,  $-\text{O}-\text{CH}_2-\text{CH}_2-\text{CH}_2-\text{CH}_2-\text{CH}_2-\text{CH}_2-$ ).  $^{11}\text{B}$  { $^1\text{H}$ } ЯМР-спектр ( $\text{D}_2\text{O}$ , δ, м.д.): -33.9 (с, 1B, B (4)); -28.5 (с, 2B, B (7, 8)); -23.0 (с, 4B, B (3, 5) + B (6, 9)); -5.0 (с, 1B, B (10)); -2.3 (с, 1B, B (1)); -1.8 (с, 1B, B (2)).  $^{13}\text{C}$  ЯМР-спектр ( $\text{D}_2\text{O}$ , δ, м.д.): 26.6 ( $-\text{O}-\text{CH}_2-\text{CH}_2-\text{CH}_2-\text{CH}_2-\text{CH}_2-$ ); 34.4 ( $-\text{O}-\text{CH}_2-\text{CH}_2-\text{CH}_2-\text{CH}_2-\text{CH}_2-\text{CH}_2-$ ); 40.2 ( $-\text{O}-\text{CH}_2-\text{CH}_2-\text{CH}_2-\text{CH}_2-\text{CH}_2-\text{CH}_2-$ ); 54.1 ( $-\text{O}-\text{CH}_2-\text{CH}_2-\text{CH}_2-\text{CH}_2-\text{CH}_2-\text{CH}_2-$ ); 74.9 ( $-\text{O}-\text{CH}_2-\text{CH}_2-\text{CH}_2-\text{CH}_2-\text{CH}_2-\text{CH}_2-\text{CH}_2-$ ), 100.6 (S—C≡N). ИК-спектр (KBr), см $^{-1}$ : 2474 (ν(B—H)), 2138 (ν(C≡N) S—C≡N). Найдено, %: C 13.35; H 3.59; N 2.61; S 6.01; B 20.34. Вычислено для  $\text{C}_6\text{H}_{19}\text{B}_{10}\text{Cs}_2\text{NOS}$ , %: C 13.67; H 3.63; N 2.66; S 6.08; B 20.51. ESI MS. Найдено, а.е.м.: 262.39 {[ $\text{B}_{10}\text{H}_9\text{O}(\text{CH}_2)_5\text{SCN}$ ] $^{2-}$  + H $^+$ }. ( $\text{C}_6\text{H}_{20}\text{B}_{10}\text{NOS}$ ). Вычислено: M = 262.40. Найдено, а.е.м.: 394.30 {[ $\text{B}_{10}\text{H}_9\text{O}(\text{CH}_2)_5\text{SCN}$ ] $^{2-}$  + Cs $^+$ }. ( $\text{C}_6\text{H}_{19}\text{B}_{10}\text{CsNOS}$ ). Вычислено: M = 394.30.

**2-[4-(S-тиоцианато)бутокси]нонагидро-клоzo-декаборат цезия  $\text{Cs}_2[\text{B}_{10}\text{H}_9\text{O}(\text{CH}_2)_4\text{SCN}]$ .** Выход 0.44 г (86%).  $^1\text{H}$  ЯМР-спектр ( $\text{D}_2\text{O}$ , δ, м.д.): 0.50...-0.50 (9H, м, B<sub>10</sub>H<sub>9</sub>), 1.17 (2H, м,  $-\text{O}-\text{CH}_2-\text{CH}_2-\text{CH}_2-\text{CH}_2-$ ); 1.38 (2H, м,  $-\text{O}-\text{CH}_2-\text{CH}_2-\text{CH}_2-\text{CH}_2-\text{CH}_2-$ ); 2.70 (2H, т,  $-\text{O}-\text{CH}_2-\text{CH}_2-\text{CH}_2-\text{CH}_2-\text{CH}_2-$ ); 2.91 (2H, т,  $-\text{O}-\text{CH}_2-\text{CH}_2-\text{CH}_2-\text{CH}_2-\text{CH}_2-$ ).  $^{11}\text{B}$  { $^1\text{H}$ } ЯМР-спектр ( $\text{D}_2\text{O}$ , δ, м.д.): -34.6 (с, 1B, B (4)); -28.6 (с, 2B, B (7, 8)); -23.5 (с, 4B, B (3, 5) + B (6, 9)); -5.1 (с, 1B, B (10)); -3.7 (с, 1B, B (1)); -1.7 (с, 1B, B (2)).  $^{13}\text{C}$  ЯМР-спектр ( $\text{D}_2\text{O}$ , δ, м.д.): 31.3 ( $-\text{O}-\text{CH}_2-\text{CH}_2-\text{CH}_2-\text{CH}_2-\text{CH}_2-$ ); 35.7 ( $-\text{O}-\text{CH}_2-\text{CH}_2-\text{CH}_2-\text{CH}_2-\text{CH}_2-$ ); 58.0 ( $-\text{O}-\text{CH}_2-\text{CH}_2-\text{CH}_2-\text{CH}_2-\text{CH}_2-$ ); 72.6 ( $-\text{O}-\text{CH}_2-\text{CH}_2-\text{CH}_2-\text{CH}_2-\text{CH}_2-$ ), 102.8 (S—C≡N). ИК-спектр (KBr), см $^{-1}$ : 2492 (ν(B—H)), 2131 (ν(C≡N) S—C≡N). Найдено, %: C 11.42; H 3.29;

N 2.68; S 6.20; B 20.34. Вычислено для  $C_5H_{17}B_{10}Cs_2NOS$ , %: C 11.70; H 3.34; N 2.73; S 6.25; B 21.07. ESI MS. Найдено, а.е.м.: 248.37  $\{[B_{10}H_9O(CH_2)_4SCN]^{2-} + H^+\}^-$ . ( $C_5H_{18}B_{10}NOS$ ). Вычислено:  $M = 248.38$ . Найдено, а.е.м.: 380.26  $\{[B_{10}H_9O(CH_2)_4SCN]^{2-} + Cs^+\}^-$ . ( $C_5H_{17}B_{10}CsNOS$ ). Вычислено:  $M = 380.28$ .

**2-[2-(S-тиосульфато)этокси]нонаидро-кло-зо-декаборат цезия  $Cs_3[B_{10}H_9O(CH_2)_2O(CH_2)_2SO_3S]$ .** Получено 0.63 г (выход 88%).  $^1H$  ЯМР-спектр ( $D_2O$ , δ, м.д.): 0.50...–0.50 (9H, м,  $B_{10}H_9$ ), 3.30 (2H, т, –O–CH<sub>2</sub>–CH<sub>2</sub>–O–CH<sub>2</sub>–CH<sub>2</sub>–), 3.77 (2H, т, –O–CH<sub>2</sub>–CH<sub>2</sub>–O–CH<sub>2</sub>–CH<sub>2</sub>–), 3.97 (2H, т, –O–CH<sub>2</sub>–CH<sub>2</sub>–O–CH<sub>2</sub>–CH<sub>2</sub>–), 4.25 (2H, т, –O–CH<sub>2</sub>–CH<sub>2</sub>–O–CH<sub>2</sub>–CH<sub>2</sub>–).  $^{11}B$  { $^1H$ } ЯМР-спектр ( $D_2O$ , δ, м.д.): –33.4 (c, 1B, B (4)); –29.3 (c, 2B, B (7, 8)); –23.3 (c, 4B, B (3, 5) + B (6, 9)); –7.0 (c, 1B, B (10)); –2.9 (c, 1B, B (1)); –1.5 (c, 1B, B (2)).  $^{13}C$  ЯМР-спектр ( $D_2O$ , δ, м.д.): 38.9 (–O–CH<sub>2</sub>–CH<sub>2</sub>–O–CH<sub>2</sub>–CH<sub>2</sub>–), 68.5 (–O–CH<sub>2</sub>–CH<sub>2</sub>–O–CH<sub>2</sub>–CH<sub>2</sub>–), 69.8 (–O–CH<sub>2</sub>–CH<sub>2</sub>–O–CH<sub>2</sub>–CH<sub>2</sub>–), 73.0 (–O–CH<sub>2</sub>–CH<sub>2</sub>–O–CH<sub>2</sub>–CH<sub>2</sub>–). ИК-спектр (KBr), см<sup>–1</sup>: 2469 (v(B–H)), 1382, 1164 (v(S–O)). Найдено, %: C 6.59; H 2.40; S 9.10; B 15.28. Вычислено для  $C_4H_{17}B_{10}Cs_3O_4S_2$ , %: C 6.86; H 2.45; S 9.16; B 15.44. ESI MS. Найдено, а.е.м.: 567.21  $\{[B_{10}H_9O(CH_2)_4SO_3S]^{3-} + 2Cs^+\}^-$ . ( $C_4H_{17}B_{10}Cs_2O_4S_2$ ). Вычислено:  $M = 567.23$ .

**2-[2-(2-фтороэтокси)этокси]нонаидро-кло-зо-декаборат цезия  $Cs_2[B_{10}H_9O(CH_2)_2O(CH_2)_2F]$ .** Получено 0.46 г (выход 94%).  $^1H$  ЯМР-спектр ( $D_2O$ , δ, м.д.): 0.50...–0.50 (9H, м,  $B_{10}H_9$ ), 3.81 (2H, т, –O–CH<sub>2</sub>–CH<sub>2</sub>–O–CH<sub>2</sub>–CH<sub>2</sub>–), 4.11 (2H, т, –O–CH<sub>2</sub>–CH<sub>2</sub>–O–CH<sub>2</sub>–CH<sub>2</sub>–), 4.40 (2H, т, –O–CH<sub>2</sub>–CH<sub>2</sub>–O–CH<sub>2</sub>–CH<sub>2</sub>–), 4.89 (2H, т, –O–CH<sub>2</sub>–CH<sub>2</sub>–O–CH<sub>2</sub>–CH<sub>2</sub>–).  $^{11}B$  { $^1H$ } ЯМР-спектр ( $D_2O$ , δ, м.д.): –34.0 (c, 1B, B (4)); –25.7 (c, 2B, B (7, 8)); –23.7 (c, 4B, B (3, 5) + B (6, 9)); –5.4 (c, 1B, B (10)); –2.8 (c, 1B, B (1)); –1.6 (c, 1B, B (2)).  $^{13}C$  ЯМР-спектр ( $D_2O$ , δ, м.д.): 61.3 (–O–CH<sub>2</sub>–CH<sub>2</sub>–O–CH<sub>2</sub>–CH<sub>2</sub>–), 66.7 (–O–CH<sub>2</sub>–CH<sub>2</sub>–O–CH<sub>2</sub>–CH<sub>2</sub>–), 72.9 (–O–CH<sub>2</sub>–CH<sub>2</sub>–O–CH<sub>2</sub>–CH<sub>2</sub>–), 78.4 (–O–CH<sub>2</sub>–CH<sub>2</sub>–O–CH<sub>2</sub>–CH<sub>2</sub>–). ИК-спектр (KBr), см<sup>–1</sup>: 2486 (v(B–H)), 1088 (v(C–O–C)). Найдено, %: C 9.51; H 3.45; B 21.89. Вычислено для  $C_4H_{17}B_{10}Cs_2FO_2$ , %: C 9.80; H 3.50; B 22.06. ESI MS. Найдено, а.е.м.: 225.27  $\{[B_{10}H_9O(CH_2)_2O(CH_2)_2F]^{2-} + H^+\}^-$ . ( $C_4H_{18}B_{10}FO_2$ ). Вычислено:  $M = 225.29$ . Найдено, а.е.м.: 357.18  $\{[B_{10}H_9O(CH_2)_2O(CH_2)_2F]^{2-} + Cs^+\}^-$ . ( $C_4H_{17}B_{10}CsFO_2$ ). Вычислено:  $M = 357.19$ .

**2-[5-(S-тиосульфато)пентокси]нонаидро-кло-зо-декаборат цезия  $Cs_3[B_{10}H_9O(CH_2)_5SO_3S]$ .** Выход 0.61 г (86%).  $^1H$  ЯМР-спектр ( $D_2O$ , δ, м.д.): 0.50...–0.50 (9H, м,  $B_{10}H_9$ ), 2.21 (2H, м, –O–CH<sub>2</sub>–CH<sub>2</sub>–CH<sub>2</sub>–CH<sub>2</sub>–CH<sub>2</sub>–); 2.32 (2H, м, –O–CH<sub>2</sub>–CH<sub>2</sub>–CH<sub>2</sub>–CH<sub>2</sub>–CH<sub>2</sub>–); 2.39 (2H, м, –O–CH<sub>2</sub>–CH<sub>2</sub>–CH<sub>2</sub>–CH<sub>2</sub>–CH<sub>2</sub>–); 2.88 (2H, т, –O–CH<sub>2</sub>–CH<sub>2</sub>–CH<sub>2</sub>–CH<sub>2</sub>–CH<sub>2</sub>–); 4.35 (2H, т, –O–CH<sub>2</sub>–CH<sub>2</sub>–CH<sub>2</sub>–CH<sub>2</sub>–CH<sub>2</sub>–); 4.35 (2H, т, –O–CH<sub>2</sub>–CH<sub>2</sub>–CH<sub>2</sub>–CH<sub>2</sub>–CH<sub>2</sub>–).  $^{11}B$  { $^1H$ } ЯМР-спектр ( $D_2O$ , δ, м.д.): –33.7 (c, 1B, B (4)); –28.4 (c, 2B, B (7, 8)); –23.1 (c, 4B, B (3, 5) + B (6, 9)); –4.8 (c, 1B, B (10)); –2.5 (c, 1B, B (1)); –1.6 (c, 1B, B (2)).  $^{13}C$  ЯМР-спектр ( $D_2O$ , δ, м.д.): 26.6 (–O–CH<sub>2</sub>–CH<sub>2</sub>–CH<sub>2</sub>–CH<sub>2</sub>–CH<sub>2</sub>–); 34.4 (–O–CH<sub>2</sub>–CH<sub>2</sub>–CH<sub>2</sub>–CH<sub>2</sub>–CH<sub>2</sub>–); 40.3 (–O–CH<sub>2</sub>–CH<sub>2</sub>–CH<sub>2</sub>–CH<sub>2</sub>–CH<sub>2</sub>–); 54.2 (–O–CH<sub>2</sub>–CH<sub>2</sub>–CH<sub>2</sub>–CH<sub>2</sub>–CH<sub>2</sub>–); 75.0 (–O–CH<sub>2</sub>–CH<sub>2</sub>–CH<sub>2</sub>–CH<sub>2</sub>–CH<sub>2</sub>–). ИК-спектр (KBr), см<sup>–1</sup>: 2483 (v(B–H)), 1381, 1162 (v(S–O)). Найдено, %: C 8.19; H 2.62; S 8.92; B 15.01. Вычислено для  $C_5H_{19}B_{10}Cs_3O_4S_2$ , %: C 8.41; H 2.68; S 8.98; B 15.14. ESI MS. Найдено, а.е.м.: 581.24  $\{[B_{10}H_9O(CH_2)_5SO_3S]^{3-} + 2Cs^+\}^-$ . ( $C_5H_{19}B_{10}Cs_2O_4S_2$ ). Вычислено:  $M = 581.25$ .

**2-[4-(S-тиосульфато)бутокси]нонаидро-кло-зо-декаборат цезия  $Cs_3[B_{10}H_9O(CH_2)_4SO_3S]$ .** Выход 0.60 г (85%).  $^1H$  ЯМР-спектр ( $D_2O$ , δ, м.д.):

0.50...–0.50 (9H, м,  $B_{10}H_9$ ), 1.18 (2H, м, –O–CH<sub>2</sub>–CH<sub>2</sub>–CH<sub>2</sub>–CH<sub>2</sub>–); 1.40 (2H, м, –O–CH<sub>2</sub>–CH<sub>2</sub>–CH<sub>2</sub>–CH<sub>2</sub>–); 2.70 (2H, м, –O–CH<sub>2</sub>–CH<sub>2</sub>–CH<sub>2</sub>–CH<sub>2</sub>–); 2.92 (2H, т, –O–CH<sub>2</sub>–CH<sub>2</sub>–CH<sub>2</sub>–CH<sub>2</sub>–).  $^{11}B$  { $^1H$ } ЯМР-спектр ( $D_2O$ , δ, м.д.): –34.9 (c, 1B, B (4)); –28.8 (c, 2B, B (7, 8)); –23.5 (c, 4B, B (3, 5) + B (6, 9)); –5.2 (c, 1B, B (10)); –3.7 (c, 1B, B (1)); –1.8 (c, 1B, B (2)).  $^{13}C$  ЯМР-спектр ( $D_2O$ , δ, м.д.): 31.3 (–O–CH<sub>2</sub>–CH<sub>2</sub>–CH<sub>2</sub>–CH<sub>2</sub>–); 35.7 (–O–CH<sub>2</sub>–CH<sub>2</sub>–CH<sub>2</sub>–CH<sub>2</sub>–); 58.0 (–O–CH<sub>2</sub>–CH<sub>2</sub>–CH<sub>2</sub>–CH<sub>2</sub>–); 72.8 (–O–CH<sub>2</sub>–CH<sub>2</sub>–CH<sub>2</sub>–CH<sub>2</sub>–). ИК-спектр (KBr), см<sup>–1</sup>: 2469 (v(B–H)), 1382, 1164 (v(S–O)). Найдено, %: C 6.59; H 2.40; S 9.10; B 15.28. Вычислено для  $C_4H_{17}B_{10}Cs_3O_4S_2$ , %: C 6.86; H 2.45; S 9.16; B 15.44. ESI MS. Найдено, а.е.м.: 567.21  $\{[B_{10}H_9O(CH_2)_4SO_3S]^{3-} + 2Cs^+\}^-$ . ( $C_4H_{17}B_{10}Cs_2O_4S_2$ ). Вычислено:  $M = 567.23$ .

**2-[2-(2-фтороэтокси)этокси]нонаидро-кло-зо-декаборат цезия  $Cs_2[B_{10}H_9O(CH_2)_2O(CH_2)_2F]$ .** Получено 0.46 г (выход 94%).  $^1H$  ЯМР-спектр ( $D_2O$ , δ, м.д.): 0.50...–0.50 (9H, м,  $B_{10}H_9$ ), 3.81 (2H, т, –O–CH<sub>2</sub>–CH<sub>2</sub>–O–CH<sub>2</sub>–CH<sub>2</sub>–), 4.11 (2H, т, –O–CH<sub>2</sub>–CH<sub>2</sub>–O–CH<sub>2</sub>–CH<sub>2</sub>–), 4.40 (2H, т, –O–CH<sub>2</sub>–CH<sub>2</sub>–O–CH<sub>2</sub>–CH<sub>2</sub>–), 4.89 (2H, т, –O–CH<sub>2</sub>–CH<sub>2</sub>–O–CH<sub>2</sub>–CH<sub>2</sub>–).  $^{11}B$  { $^1H$ } ЯМР-спектр ( $D_2O$ , δ, м.д.): –34.0 (c, 1B, B (4)); –25.7 (c, 2B, B (7, 8)); –23.7 (c, 4B, B (3, 5) + B (6, 9)); –5.4 (c, 1B, B (10)); –2.8 (c, 1B, B (1)); –1.6 (c, 1B, B (2)).  $^{13}C$  ЯМР-спектр ( $D_2O$ , δ, м.д.): 61.3 (–O–CH<sub>2</sub>–CH<sub>2</sub>–O–CH<sub>2</sub>–CH<sub>2</sub>–), 66.7 (–O–CH<sub>2</sub>–CH<sub>2</sub>–O–CH<sub>2</sub>–CH<sub>2</sub>–), 72.9 (–O–CH<sub>2</sub>–CH<sub>2</sub>–O–CH<sub>2</sub>–CH<sub>2</sub>–), 78.4 (–O–CH<sub>2</sub>–CH<sub>2</sub>–O–CH<sub>2</sub>–CH<sub>2</sub>–). ИК-спектр (KBr), см<sup>–1</sup>: 2486 (v(B–H)), 1088 (v(C–O–C)). Найдено, %: C 9.51; H 3.45; B 21.89. Вычислено для  $C_4H_{17}B_{10}Cs_2FO_2$ , %: C 9.80; H 3.50; B 22.06. ESI MS. Найдено, а.е.м.: 225.27  $\{[B_{10}H_9O(CH_2)_2O(CH_2)_2F]^{2-} + H^+\}^-$ . ( $C_4H_{18}B_{10}FO_2$ ). Вычислено:  $M = 225.29$ . Найдено, а.е.м.: 357.18  $\{[B_{10}H_9O(CH_2)_2O(CH_2)_2F]^{2-} + Cs^+\}^-$ . ( $C_4H_{17}B_{10}CsFO_2$ ). Вычислено:  $M = 357.19$ .

**2-[5-фторопентокси]нонаидро-кло-зо-декаборат цезия  $Cs_2[B_{10}H_9O(CH_2)_5F]$ .** Выход 0.45 г (92%).  $^1H$  ЯМР-спектр ( $D_2O$ , δ, м.д.): 0.50...–0.50 (9H, м,  $B_{10}H_9$ ), 3.06 (2H, м, –O–CH<sub>2</sub>–CH<sub>2</sub>–CH<sub>2</sub>–CH<sub>2</sub>–CH<sub>2</sub>–); 3.20 (2H, м, –O–CH<sub>2</sub>–CH<sub>2</sub>–CH<sub>2</sub>–CH<sub>2</sub>–CH<sub>2</sub>–); 3.45 (2H, м, –O–CH<sub>2</sub>–CH<sub>2</sub>–CH<sub>2</sub>–CH<sub>2</sub>–CH<sub>2</sub>–); 3.88 (2H, т, –O–CH<sub>2</sub>–CH<sub>2</sub>–CH<sub>2</sub>–CH<sub>2</sub>–CH<sub>2</sub>–); 4.30 (2H, т, –O–CH<sub>2</sub>–CH<sub>2</sub>–CH<sub>2</sub>–CH<sub>2</sub>–CH<sub>2</sub>–).  $^{11}B$  { $^1H$ } ЯМР-спектр ( $D_2O$ , δ, м.д.): –33.9 (c, 1B, B (4)); –29.3 (c, 2B, B (7, 8)); –23.1 (c, 4B, B (3, 5) + B (6, 9)); –5.0 (c, 1B, B (10)); –2.6 (c, 1B, B (1)); –1.5 (c, 1B, B (2)).  $^{13}C$  ЯМР-спектр ( $D_2O$ , δ, м.д.): 22.9 (–O–CH<sub>2</sub>–CH<sub>2</sub>–CH<sub>2</sub>–CH<sub>2</sub>–CH<sub>2</sub>–); 30.4 (–O–CH<sub>2</sub>–CH<sub>2</sub>–CH<sub>2</sub>–CH<sub>2</sub>–CH<sub>2</sub>–); 40.2 (–O–CH<sub>2</sub>–CH<sub>2</sub>–CH<sub>2</sub>–CH<sub>2</sub>–CH<sub>2</sub>–); 71.5 (–O–CH<sub>2</sub>–CH<sub>2</sub>–CH<sub>2</sub>–

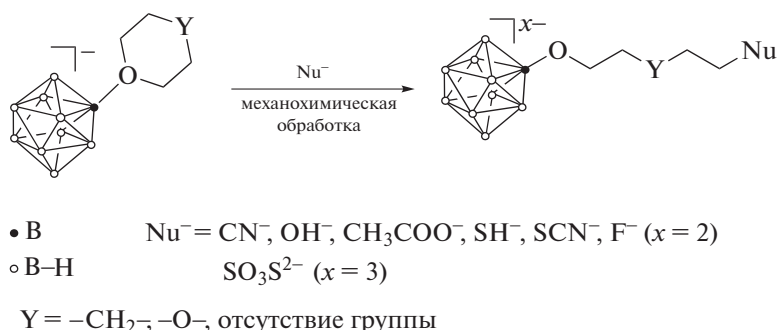
$\text{CH}_2-\underline{\text{CH}_2}$ ); 75.2 ( $-\text{O}-\underline{\text{CH}_2}-\text{CH}_2-\text{CH}_2-\text{CH}_2-$   
 $\text{CH}_2-$ ). ИК-спектр (KBr),  $\text{cm}^{-1}$ : 2488 ( $\nu(\text{B}-\text{H})$ ),  
 1084 ( $\nu(\text{C}-\text{O}-\text{C})$ ). Найдено, %: C 12.02; H 3.86; B  
 21.97. Вычислено для  $\text{C}_5\text{H}_{19}\text{B}_{10}\text{Cs}_2\text{FO}$ , %: C 12.30;  
 H 3.92; B 22.15. ESI MS. Найдено, а.е.м.: 223.30  
 $\{[\text{B}_{10}\text{H}_9\text{O}(\text{CH}_2)_5\text{F}]^{2-} + \text{H}^+\}^-$ . ( $\text{C}_5\text{H}_{20}\text{B}_{10}\text{FO}$ ). Вычис-  
 лено:  $M = 223.32$ . Найдено, а.е.м.: 355.21  
 $\{[\text{B}_{10}\text{H}_9\text{O}(\text{CH}_2)_5\text{F}]^{2-} + \text{Cs}^+\}^-$ . ( $\text{C}_5\text{H}_{19}\text{B}_{10}\text{CsFO}$ ). Вы-  
 числено:  $M = 355.22$ .

**2-[4-фторобутилокси]нанагидро-клоzo-декаборат цезия  $\text{Cs}_2[\text{B}_{10}\text{H}_9\text{O}(\text{CH}_2)_4\text{F}]$ .** Выход 0.44 г (92%).  $^1\text{H}$  ЯМР-спектр ( $\text{D}_2\text{O}$ ,  $\delta$ , м.д.): 0.50...–0.50 (9Н, м,  $\text{B}_{10}\text{H}_9$ ), 3.12 (2Н, м,  $-\text{O}-\text{CH}_2-\underline{\text{CH}_2}-\text{CH}_2-\text{CH}_2-$ ); 3.34 (2Н, м,  $-\text{O}-\text{CH}_2-\text{CH}_2-\underline{\text{CH}_2}-\text{CH}_2$ ); 3.76 (2Н, т,  $-\text{O}-\underline{\text{CH}_2}-\text{CH}_2-\text{CH}_2-\text{CH}_2-$ ); 4.29 (2Н, т,  $-\text{O}-\text{CH}_2-\text{CH}_2-\text{CH}_2-\underline{\text{CH}_2}$ ).  $^{11}\text{B}$  { $^1\text{H}$ } ЯМР-спектр ( $\text{D}_2\text{O}$ ,  $\delta$ , м.д.): –34.2 (с, 1B, B (4)); –24.7 (с, 2B, B (7, 8)); –23.5 (с, 4B, B (3, 5) + B (6, 9)); –5.3 (с, 1B, B (10)); –3.4 (с, 1B, B (1)); –1.2 (с, 1B, B (2)).  $^{13}\text{C}$  ЯМР-спектр ( $\text{D}_2\text{O}$ ,  $\delta$ , м.д.): 22.3 ( $-\text{O}-\text{CH}_2-\underline{\text{CH}_2}-\text{CH}_2-\text{CH}_2-$ ); 31.7 ( $-\text{O}-\text{CH}_2-\text{CH}_2-\underline{\text{CH}_2}-\text{CH}_2-$ );

73.5 ( $-\text{O}-\underline{\text{CH}_2}-\text{CH}_2-\text{CH}_2-\text{CH}_2-$ ); 78.6 ( $-\text{O}-\text{CH}_2-\text{CH}_2-\underline{\text{CH}_2}-\text{CH}_2-$ ). ИК-спектр (KBr),  $\text{cm}^{-1}$ : 2490 ( $\nu(\text{B}-\text{H})$ ), 1085 ( $\nu(\text{C}-\text{O}-\text{C})$ ). Найдено, %: C 9.84; H 3.55; B 22.66. Вычислено для  $\text{C}_4\text{H}_{17}\text{B}_{10}\text{Cs}_2\text{FO}$ , %: C 10.13; H 3.61; B 22.80. ESI MS. Найдено, а.е.м.: 209.28  $\{[\text{B}_{10}\text{H}_9\text{O}(\text{CH}_2)_4\text{F}]^{2-} + \text{H}^+\}^-$ . ( $\text{C}_4\text{H}_{18}\text{B}_{10}\text{FO}$ ). Вычис-  
 лено:  $M = 209.29$ . Найдено, а.е.м.: 341.17  
 $\{[\text{B}_{10}\text{H}_9\text{O}(\text{CH}_2)_4\text{F}]^{2-} + \text{Cs}^+\}^-$ . ( $\text{C}_4\text{H}_{17}\text{B}_{10}\text{CsFO}$ ). Вы-  
 числено:  $M = 341.19$ .

## РЕЗУЛЬТАТЫ И ОБСУЖДЕНИЕ

В данном исследовании был разработан новый метод получения клоzo-декаборатов с пентадантными C-, O-, S- и Hal-функциональными группами, заключающийся во взаимодействии замещенных производных клоzo-декаборатного аниона  $[\text{2-B}_{10}\text{H}_9\text{X}]^-$  ( $\text{X} = 1,4$ -диоксан, тетрагидропиран, тетрагидрофуран) с нуклеофильными реагентами (KCN, KOH,  $\text{CH}_3\text{COONa}$ , KSH, KSCN,  $\text{Na}_2\text{S}_2\text{O}_3$ , KF) в условиях механохимического синтеза (схема 1).



**Схема 1.** Взаимодействие анионов  $[\text{B}_{10}\text{H}_9\text{O}(\text{CH}_2)_4\text{O}]^-$ ,  $[\text{B}_{10}\text{H}_9\text{O}(\text{CH}_2)_5]^-$  и  $[\text{B}_{10}\text{H}_9\text{O}(\text{CH}_2)_4]^-$  с нуклеофильными реагентами в условиях механохимического синтеза.

В отличие от “традиционных” методов получения подобных соединений предложенный подход не требует применения аprotонных полярных растворителей и значительно сокращает как время непосредственного взаимодействия реагентов, так и время, необходимое на выделение образующихся продуктов.

Раскрытие циклического заместителя в анионах  $[\text{B}_{10}\text{H}_9\text{X}]^-$  ( $\text{X} = 1,4$ -диоксан, тетрагидропиран, тетрагидрофуран) и образование клоzo-декаборатов с концевыми функциональными группами удобно контролировать по данным  $^{11}\text{B}$  { $^1\text{H}$ } ЯМР-спектроскопии образующихся соединений.

Реагенты и продукты реакций относятся к монозамещенным клоzo-декаборатам, поэтому их  $^{11}\text{B}$  { $^1\text{H}$ } ЯМР-спектры не имеют принципиальных отличий, а происходит только изменение хи-

мических сдвигов и перераспределение сигналов от атомов бора.

Например, в  $^{11}\text{B}$  { $^1\text{H}$ } ЯМР-спектре соли  $\text{Bu}_4\text{N}[\text{B}_{10}\text{H}_9\text{O}(\text{CH}_2)_4\text{O}]$  присутствуют два сигнела при 0.8 и –6.4 м.д., которые относятся к неэквивалентным апикальным вершинам борного кластера. В спектре производного  $\text{Cs}_2[\text{B}_{10}\text{H}_9\text{O}(\text{CH}_2)_2\text{O}(\text{CH}_2)_2\text{CN}]$  эти сигналы сближаются относительно друг друга и наблюдаются при –3.6 и –5.6 м.д. Сигнал от *inco*-атома бора является единственным сигналом, который не расщепляется в дублет в спектре  $^{11}\text{B}$  ЯМР, он смещается с 8.0 до –1.6 м.д. Также наблюдается перераспределение сигналов от оставшихся экваториальных атомов бора: если в спектре исходного аниона присутствуют три сигнала при 21.5, 23.5 и 30.0 м.д. с соотношением интегральных интенсивностей 2 : 2 : 3

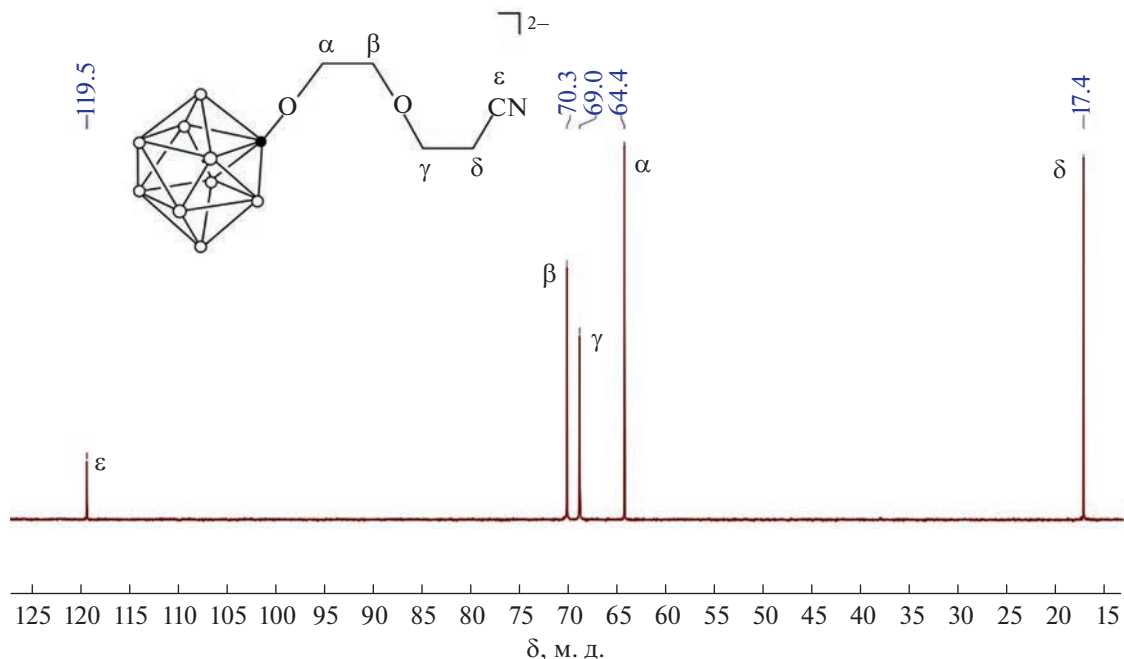


Рис. 1.  $^{13}\text{C}$  ЯМР-спектр  $\text{Cs}_2[\text{B}_{10}\text{H}_9\text{O}(\text{CH}_2)_2\text{O}(\text{CH}_2)_2\text{CN}]$  в  $\text{D}_2\text{O}$ .

соответственно, то в спектре продукта реакции эти сигналы наблюдаются примерно при тех же химических сдвигах, но с соотношением интегральных интенсивностей 4 : 2 : 1. Такие изменения в  $^{11}\text{B}$  { $^1\text{H}$ } ЯМР-спектрах продуктов реакций однозначно свидетельствуют об изменении типа связи В—О с оксониевого на аллоксильный.

Спектры всех полученных соединений имеют достаточно схожий вид, так все они относятся к типу  $[\text{B}_{10}\text{H}_9\text{OR}]^n$  ( $n = -1, -2$ ), а пендантная функциональная группа практически не влияет на характер химической связи в борном кластере. Поэтому метод  $^{11}\text{B}$  { $^1\text{H}$ } ЯМР-спектроскопии, являясь очень удобным для контроля протекания реакций раскрытия циклического заместителя, в то же время не может быть использован для установления строения присоединенной пендантной группы. Эта информация была получена при использовании методов ИК-,  $^{13}\text{C}$  и  $^1\text{H}$  ЯМР-спектроскопии.

Так, в  $^1\text{H}$  ЯМР-спектрах продуктов реакций происходят значительные изменения по сравнению со спектрами исходных производных *клозо*-декаборатного аниона. Например, в  $^1\text{H}$  ЯМР-спектре соли  $\text{Bu}_4\text{N}[\text{B}_{10}\text{H}_9\text{O}(\text{CH}_2)_4\text{O}]$  наблюдаются два триплета при 3.85 и 4.31 м.д., которые относятся к 1,4-диоксановому заместителю. В спектре же соединения  $\text{Cs}_2[\text{B}_{10}\text{H}_9\text{O}(\text{CH}_2)_2\text{O}(\text{CH}_2)_2\text{CN}]$  присутствуют четыре сигнала при 2.97, 3.65, 3.78 и 3.94 м.д. от неэквивалентных метиленовых групп аллоксильной спейсерной цепи. Аналогичные изменения наблюдаются в  $^{13}\text{C}$  ЯМР-спектрах продуктов реакций. Так, в спектре того же продукта присут-

ствуют сигналы при 17.4, 64.4, 69.0 и 70.3 м.д. от атомов углерода спейсерной цепи, а также сигнал при 119.5 м.д. от присоединенной группы  $-\text{C}\equiv\text{N}$  (рис. 1). Изменения аналогичного характера наблюдаются в спектрах и остальных полученных производных *клозо*-декаборатного аниона с пендантными функциональными группами.

В ИК-спектрах синтезированных соединений также наблюдаются интересные изменения, связанные с раскрытием циклического заместителя и введением пендантной группы. Например, в спектрах производных с присоединенными группами  $-\text{SCN}$  и  $-\text{CN}$  присутствуют узкие полосы с максимумами при  $2130$ – $2140 \text{ cm}^{-1}$  ( $\nu(-\text{S}-\text{C}\equiv\text{N})$ ) и  $2240$ – $2260 \text{ cm}^{-1}$  ( $\nu(-\text{C}\equiv\text{N})$ ) соответственно. Наблюдение таких полос поглощения свидетельствует о получении производных именно с S-тиоцианатной и C-цианидной пендантными группами [70]. Как правило, все спектры содержат высокоинтенсивную полосу поглощения валентных колебаний В—Н от борного полиэдра в диапазоне  $2440$ – $2510 \text{ cm}^{-1}$ , а полоса при  $940$ – $970 \text{ cm}^{-1}$ , отвечающая валентным колебаниям  $\text{C}-\text{O}^+-\text{C}$  в исходном соединении, исчезает.

Состав полученных *клозо*-декаборатов с пендантными функциональными группами позволил подтвердить метод ESI масс-спектрометрии. Как правило, в анионной части масс-спектров в подавляющем большинстве случаев присутствуют высокоинтенсивные пики от однозарядных ионов  $\{\text{Cs}^+ + [\text{B}_{10}\text{H}_9\text{spacerNu}]^{2-}\}^-$  и  $\{\text{H}^+ + [\text{B}_{10}\text{H}_9\text{spacerNu}]\}^-$ , где  $\text{spacer} =$

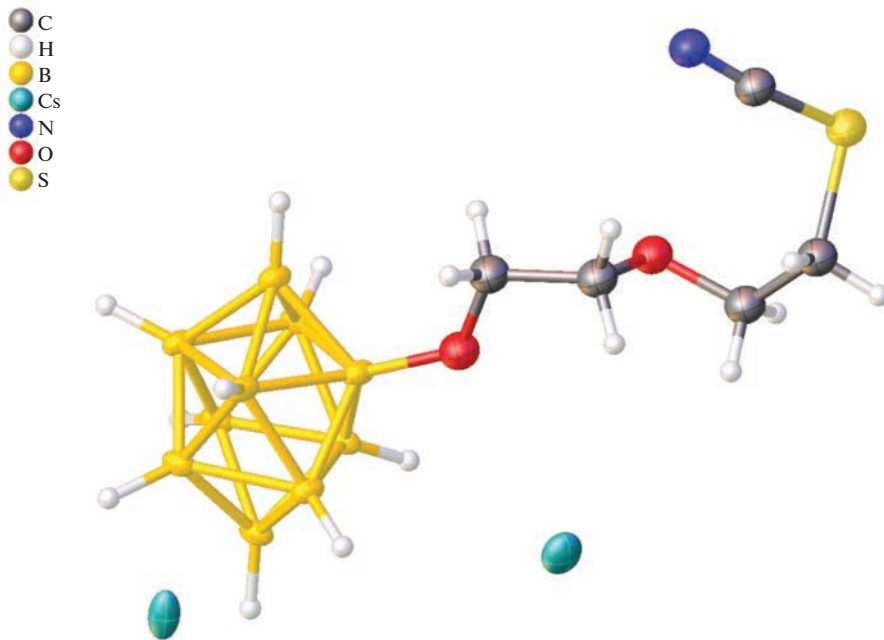


Рис. 2. Структура соли  $\text{Cs}_2[\text{B}_{10}\text{H}_9\text{O}(\text{CH}_2)_2\text{O}(\text{CH}_2)_2\text{SCN}]$ .

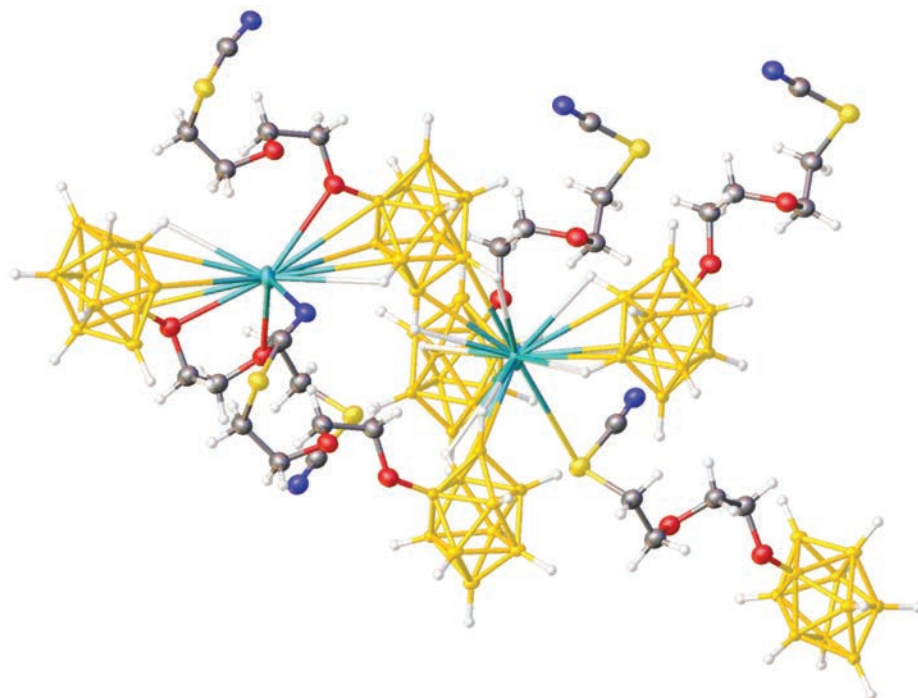
$-\text{OCH}_2\text{CH}_2\text{OCH}_2\text{CH}_2-$ ,  $-\text{OCH}_2\text{CH}_2\text{CH}_2\text{CH}_2-$  или  $-\text{OCH}_2\text{CH}_2\text{CH}_2\text{CH}_2\text{CH}_2-$ . Например, в масс-спектре производного  $\text{Cs}_2[\text{B}_{10}\text{H}_9\text{O}(\text{CH}_2)_2\text{O}(\text{CH}_2)_2\text{F}]$  наблюдаются пики с максимальной интенсивностью при  $m/z$  225.27 и 357.18 от анионов состава  $\{\text{Cs}^+ + [\text{B}_{10}\text{H}_9\text{O}(\text{CH}_2)_2\text{O}(\text{CH}_2)_2\text{F}]^{2-}\}^-$  и  $\{\text{H}^+ + [\text{B}_{10}\text{H}_9\text{O}(\text{CH}_2)_2\text{O}(\text{CH}_2)_2\text{F}\}\}^-$ , что находится в очень хорошем соответствии с расчетными значениями ( $m/z$  225.29 и 357.19 соответственно).

Строение соединения  $\text{Cs}_2[\text{B}_{10}\text{H}_9\text{O}(\text{CH}_2)_2\text{O}(\text{CH}_2)_2\text{SCN}]$  было установлено методом РСА. Кристаллографически независимая часть орторомбической ячейки (пр. гр.  $Pnna$ ,  $Z = 4$ ,  $Z = 0.5$ ) соединения  $\text{Cs}_2[\text{B}_{10}\text{H}_9\text{O}(\text{CH}_2)_2\text{O}(\text{CH}_2)_2\text{SCN}]$  содержит половину аниона  $[\text{B}_{10}\text{H}_9\text{O}(\text{CH}_2)_2\text{O}(\text{CH}_2)_2\text{SCN}]^{2-}$  (рис. 2) и два катиона  $\text{Cs}^+$  с заселенностью 0.5, в связи с чем экзополиэдрический заместитель аниона разупорядочен на две позиции. Длина связи  $\text{B}-\text{O}$  составляет 1.49(4) Å, связей  $\text{C}\equiv\text{N}$  и  $\text{S}-\text{C}$  – 1.13(5) Å и 1.696(13) Å соответственно, что согласуется с литературными данными [23, 36, 43, 48, 49].

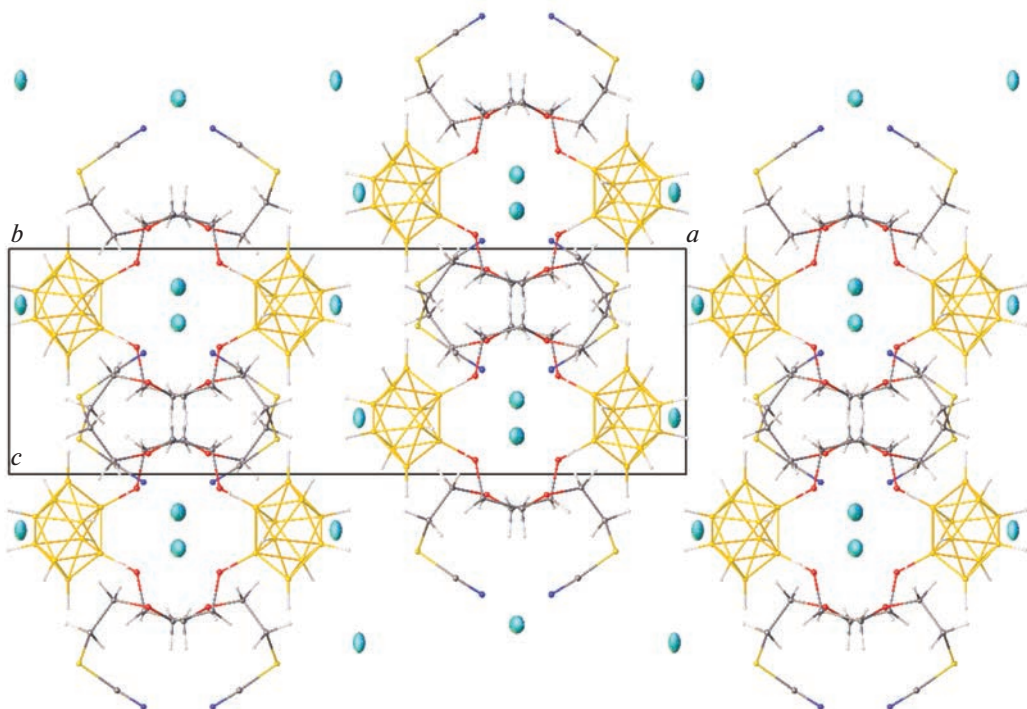
Один из катионов цезия находится в окружении четырех борных остовов и двух атомов серы, в то время как второй – в окружении двух борных остовов трех атомов кислорода от двух экзополиэдрических заместителей и атома азота от третьего аниона (рис. 3). Расстояние  $\text{Cs}-\text{S}$  составляет 3.966(17) Å,  $\text{Cs}-\text{N}$  – 3.07(5), а расстояние  $\text{Cs}-\text{B}$  лежит в диапазоне 3.49(3)–3.86(3) Å.

Анионы  $[\text{B}_{10}\text{H}_9\text{O}(\text{CH}_2)_2\text{O}(\text{CH}_2)_2\text{SCN}]^{2-}$  образуют сдвоенные слои (рис. 4), в которых экзополиэдрические заместители “координированы” на атомы  $\text{Cs}$ , располагающиеся внутри каналов, образованных этими заместителями. Другие катионы расположены между этими слоями и “координируют” борные остовы.

Таким образом, в ходе настоящего исследования был разработан новый метод получения производных аниона  $[\text{B}_{10}\text{H}_{10}]^{2-}$  с пendantными функциональными группами, заключающийся во взаимодействии анионов  $[\text{2-B}_{10}\text{H}_9\text{O}(\text{CH}_2)_4\text{O}]^-$ ,  $[\text{2-B}_{10}\text{H}_9\text{O}(\text{CH}_2)_5]^-$  и  $[\text{2-B}_{10}\text{H}_9\text{O}(\text{CH}_2)_4]^-$  с рядом С-, О-, S- и F-нуклеофильных реагентов в условиях механохимического синтеза. Показано, что данный метод позволяет синтезировать производные *клозо*-декаборатного аниона с пendantными группами различного строения с высокими выходами за относительно малое время и без применения аprotонных полярных растворителей. Использование *клозо*-декаборатов с различным типом экзополиэдрических заместителей позволяет конструировать производные со спейсерными группами с заданными длиной и составом. Синтезированные соединения в дальнейшем могут быть модифицированы за счет реакционной способности пendantных групп, а также могут быть использованы в качестве полидентатных лигандов за счет наличия донорных центров различного типа.



**Рис. 3.** Окружение катионов  $\text{Cs}^+$  в структуре  $\text{Cs}_2[\text{B}_{10}\text{H}_9\text{O}(\text{CH}_2)_2\text{O}(\text{CH}_2)_2\text{SCN}]$ .



**Рис. 4.** Фрагмент упаковки в структуре  $\text{Cs}_2[\text{B}_{10}\text{H}_9\text{O}(\text{CH}_2)_2\text{O}(\text{CH}_2)_2\text{SCN}]$ .

#### ФИНАНСИРОВАНИЕ

Работа выполнена с использованием оборудования ЦКП РГУ МИРЭА при поддержке Минобрнауки России в рамках Соглашения № 075-15-2021-689 от

01.09.2021 г. и оборудования ЦКП ФМИ ИОНХ РАН, функционирующего при поддержке государственного задания ИОНХ РАН в области фундаментальных научных исследований.

## КОНФЛИКТ ИНТЕРЕСОВ

Авторы заявляют, что у них нет конфликта интересов.

## СПИСОК ЛИТЕРАТУРЫ

1. Zhao X., Yang Z., Chen H., Wang Z. et al. // *Coord. Chem. Rev.* 2021. V. 444. P. 214042. <https://doi.org/10.1016/j.ccr.2021.214042>
2. Sivaev I.B., Prikaznov A.V., Naoufal D. // *Collect. Czechosl. Chem. Commun.* 2010. V. 75. № 11. P. 1149. <https://doi.org/10.1135/cccc2010054>
3. Sivaev I.B., Bregadze V.I., Sjöberg S. // *Collect. Czechosl. Chem. Commun.* 2002. V. 67. № 6. P. 679. <https://doi.org/10.1135/cccc20020679>
4. Sivaev I.B. // *Chem. Heterocycl. Compd.* 2017. V. 53. № 6. P. 638. <https://doi.org/10.1007/s10593-017-2106-9>
5. Yan Y., Rentsch D., Battaglia C. et al. // *Dalton Trans.* 2017. V. 46. № 37. P. 12434. <https://doi.org/10.1039/C7DT02946B>
6. Yan J., Yang W., Zhang Q. et al. // *Chemical Communications*. 2020. V. 56. № 79. P. 11720. <https://doi.org/10.1039/D0CC04709K>
7. Dash B.P., Satapathy R., Maguire J.A. et al. // *New J. Chem.* 2011. V. 35. № 10. P. 1955. <https://doi.org/10.1039/C1NJ20228F>
8. Ould-Amar S., Peti E., Granie D. et al. // *Renewable Energy*. 2019. V. 143. P. 551. <https://doi.org/10.1016/j.renene.2019.05.019>
9. Goszczyński T.M., Fink K., Boratyński J. et al. // *Expert Opin. Biol. Ther.* 2018. V. 18. № 1. P. 205. <https://doi.org/10.1080/14712598.2018.1473369>
10. Zharkov D.O., Yudkina A.V., Riesebeck T. et al. // *Am. J. Cancer Res.* 2021. V. 11. № 10. P. 4668.
11. Ali F., Hosmane N., Zhu Y. // *Molecules*. 2020. V. 25. № 4. P. 828. <https://doi.org/10.3390/molecules25040828>
12. Leśnikowski Z.J., Schinazi R.F. // *J. Org. Chem.* 1993. V. 58. № 24. P. 6531. <https://doi.org/Leśnikowski.1021/jo00076a001>
13. Lesnikowski Z.J., Shi J., Schinazi R.F. // *J. Organometal. Chem.* 1999. V. 581. P. 156. [https://doi.org/10.1016/S0022-328X\(99\)00129-1](https://doi.org/10.1016/S0022-328X(99)00129-1)
14. Sun Y.J., Zhang J.L., Zhang Y.B. et al. // *Chemistry*. 2018. V. 24. P. 10364. <https://doi.org/10.1002/chem.201801602>
15. Białek-Pietrasa M., Olejniczak A.B., Paradowska E. et al. // *J. Organomet. Chem.* 2015. V. 798. P. 99. <https://doi.org/10.1016/j.jorganchem.2015.07.002>
16. Авдеева В.Б., Гараев Т.М., Малинина Е.А. и др. // Журн. неорган. хим. 2022. Т. 67. № 1. С. 33] <https://doi.org/10.1134/S0036023622010028>
17. Tetsushi Totani, Katsutoshi Aono, Kiyoe Yamamoto, Katuya Tawara // *J. Med. Chem.* 1981. V. 24. № 12. P. 1492. <https://doi.org/10.1021/jm00144a024>
18. Матвеев Е.Ю., Кубасов А.С., Разгоняева Г.А. и др. // Журн. неорган. химии. 2015. Т. 60. № 7. С. 858.
19. Нелюбин А.В., Клюкин И.Н., Жданов А.П. и др. // Журн. неорган. химии. 2021. Т. 66. № 2. С. 134.
20. Nelyubin A.V., Klyukin I.N., Zhdanov A.P. et al. // *Russ. J. Inorg. Chem.* 2019. V. 64. № 14. P. 1750. <https://doi.org/10.1134/S0036023619140043>
21. Zhizhin K.Y., Zhdanov A.P., Kuznetsov N.T. // *Russ. J. Inorg. Chem.* 2010. V. 55. № 14. P. 2089. <https://doi.org/10.1134/S0036023610140019>
22. Klyukin I.N., Zhdanov A.P., Matveev E.Yu. et al. // *J. Inorg. Chem. Commun.* 2014. V. 50. P. 28. <https://doi.org/10.1016/j.jinoche.2014.10.008>
23. Klyukin I.N., Kubasov A.S., Limarev I.P. et al. // *Polyhedron*. 2015. V. 101. P. 215. <https://doi.org/10.1016/j.poly.2015.09.025>
24. Клюкин И.Н., Воинова В.В., Селиванов Н.А. и др. // Журн. неорган. химии. 2018. Т. 63. № 12. С. 1536.
25. Nelyubin A.V., Klyukin I.N., Novikov et al. // *Mendeleev Commun.* 2021. V. 31. № 2. P. 201. <https://doi.org/10.1016/J.MENCOM.2021.03.018>
26. Nelyubin A.V., Selivanov N.A., Bykov A.Y. et al. // *Int. J. Mol. Sci.* 2021. V. 22. № 24. P. 13391. <https://doi.org/10.3390/ijms222413391>
27. Kubasov A.S., Turishev E.S., Polyakova I.N. et al. // *J. Organomet. Chem.* 2017. V. 828. P. 106. <https://doi.org/10.1016/j.jorganchem.2016.11.035>
28. Голубев А.В., Кубасов А.С., Турышев Е.С., и др. // Журн. неорган. химии. 2020. Т. 65. № 9. С. 1198.
29. Kubasov A.S., Matveev E.Y., Turyshev E.S. et al. // *Inorgan. Chim. Acta*. 2018. V. 477. P. 277. <https://doi.org/10.1016/j.ica.2018.03.013>
30. Zhdanov A.P., Klyukin I.N., Bykov A.Y. et al. // *Polyhedron*. V. 123. P. 176. <https://doi.org/10.1016/j.poly.2016.11.035>
31. Stogniy M.Y., Erokhina S.A., Sivaev I.B. et al. // *Phosphorus, Sulfur and Silicon and the Related Elements*. 2019. P. 983. <https://doi.org/10.1080/10426507.2019.1631312>
32. Laskova J., Ananiev I., Kosenko I. et al. // *Dalton Transactions*. 2022. V. 51. № 8. P. 3051.
33. Avdeeva V.V., Malinina E.A., Sivaev I.B. et al. // *Crystals*. 2016. V. 6. P. 60. <https://doi.org/10.3390/cryst6050060>
34. Malinina E.A., Avdeeva V.V., Goeva L.V. et al. // *Russ. J. Inorg. Chem.* 2010. V. 55. P. 2148. <https://doi.org/10.1134/S0036023610140032>
35. Kubasov A.S., Matveev E.Y., Retivov V.M. et al. // *Russ. Chem. Bull.* 2014. V. 63. P. 187. <https://doi.org/10.1007/s11172-014-0412-2>
36. Matveev E.Y., Novikov I.V., Kubasov AS. et al. // *Russ. J. Inorg. Chem.* 2021. V. 66. № 2. P. 187. <https://doi.org/10.1134/S0036023621020121>
37. Semioshkin A.A., Sivaev I.B., Bregadze V.I. // *Dalton Trans.* 2008. V. 8. P. 977. <https://doi.org/10.1039/B715363E>
38. Матвеев Е.Ю., Акимов С.С., Кубасов А.С. и др. // Журн. неорган. химии. 2017. Т. 62. № 6. С. 827.
39. Prikaznov A.V., Las'kova Y.N., Semioshkin A.A. et al. // *Russ. Chem. Bull.* 2011. V. 60. № 12. P. 2550. <https://doi.org/10.1007/s11172-011-0392-4>
40. Матвеев Е.Ю., Лимарев И.П., Ничуговский А.И. и др. // Журн. неорган. химии. 2019. Т. 64. № 8. С. 811.

41. Матвеев Е.Ю., Новиков С.С., Левицкая В.Я. и др. // Тонкие химические технологии. 2022. Т. 17. № 5. С. 427.
42. Kikuchi S., Kanoh D., Sato S. et al. // J. Controlled Release. 2016. V. 237. P. 160. <https://doi.org/10.1016/j.jconrel.2016.07.017>
43. Laskova J., Kozlova A., Ananyev I. et al. // J. Organomet. Chem. 2017. V. 834. P. 64. <https://doi.org/10.1016/j.jorgancchem.2017.02.009>
44. Serdyukov A., Kosenko I., Druzina A., Grin et al. // J. Organomet. Chem. 2021. V. 946. P. 121905. <https://doi.org/10.1016/j.jorgancchem.2021.121905>
45. Imperio D., Muz B., Azab et al. // Eur. J. Org. Chem. 2019. V. 2019. № 43. P. 7228. <https://doi.org/10.1002/ejoc.201901412>
46. Druzina A.A., Kosenko I.D., Zhidkova O.B. // INEOS Open. 2020. V. 3. № 2. P. 70. <https://doi.org/10.32931/ios2008a>
47. Матвеев Е.Ю., Левицкая В.Я., Новиков С.С. и др. // Журн. неорган. химии. 2022. Т. 67. № 12. С. 1717.
48. Semioshki A., Laskov J., Zhidkov O. et al. // J. Organomet. Chem. 2010. V. 695. № 3. P. 370. <https://doi.org/10.1016/j.jorgancchem.2009.10.038>
49. Sivaev I.B., Kulikova N.Y., Nizhnik E.A. et al. // J. Organomet. Chem. 2008. V. 693. № 3. P. 519. <https://doi.org/10.1016/j.jorgancchem.2007.11.027>
50. Beillard A., Bantrel X., Métro T.X. et al. // Chem. Rev. 2019. V. 119. № 12. P. 7529. <https://doi.org/10.1021/acs.chemrev.8b00479>
51. Friščić T., Mottillo C., Titi H.M. // Angew. Chem. 2020. V. 132. № 3. P. 1030. <https://doi.org/10.1002/ange.201906755>
52. Tan D., García F. // Chem. Rev. 2019. V. 48. № 8. P. 2274. <https://doi.org/10.1039/C7CS00813A>
53. Suárez-Alcántara K., Tena García J.R. // Materials. 2021. V. 14. № 10. P. 2561. <https://doi.org/10.3390/ma14102561>
54. Mal'tseva N.N., Generalova N.B., Masanov A.Yu. et al. // Rus. J. Inorg. Chem. 2012. V. 57. № 13. P. 1631. <https://doi.org/10.1134/S0036023612130049>
55. Huot J., Cuevas F., Deledda S. et al. // Materials. 2019. V. 12. № 17. P. 2778. <https://doi.org/10.3390/ma12172778>
56. Shin S., Um K., Ko G.H. et al. // Org. Lett. 2022. V. 24. № 17. P. 3128. <https://doi.org/10.1021/acs.orglett.2c00756>
57. Sha Y., Zhou Z., Zhu M. et al. // Angew. Chem. Int. Ed. 2022. P. e202203169.
58. Wang Q., Liu B., Feng K. et al. // Adv. Synthesis Catalysts. 2022. V. 364. № 24. P. 4174.
59. Volkov V.V., Myakishev K.G. // Inorg. Chim. Acta. 1999. V. 289. № 1–2. P. 51. [https://doi.org/10.1016/S0020-1693\(99\)00057-2](https://doi.org/10.1016/S0020-1693(99)00057-2)
60. Borisov A.P., Makhaev V.D., Usyatinskii A.Y. et al. // Russ. Chem. Bull. 1993. V. 42. № 10. P. 1637. <https://doi.org/10.1007/BF00697029>
61. Volkov V.V., Myakishev K.G. // 8 Int. Meeting on Boron Chemistry (IMEBORON VIII), Program and Abstracts, The University of Tennessee, Knoxville, USA, 1993, p. 151
62. Malinina E.A., Korolenko S.E., Kubasov A.S. et al. // J. Solid State Chem. 2021. V. 302. P. 122413. <https://doi.org/10.1016/j.jssc.2021.122413>
63. Жижин К.Ю., Мустаца В.Н., Малинина Е.А. и др. // Журн. неорган. химии. 2004. Т. 49. № 2. С. 221.
64. Органикум. В 2-х т. Пер. с нем. Т. 1. М.: Мир, 1992.
65. Руководство по неорганическому синтезу. Пер. с нем. /Под ред. Брауэра Г. М.: Мир, 1985. Т. 2.
66. Bruker, SAINT, Bruker AXS Inc., Madison, WI, 2018.
67. Krause L., Herbst-Irmer R., Sheldrick G.M. et al. // J. Appl. Crystallogr. 2015. V. 48. № 1. P. 3. <https://doi.org/10.1107/S1600576714022985>
68. Sheldrick G.M. // Acta Crystallogr. Sect. C Struct. Chem. 2015. V. 71. P. 3. <https://doi.org/10.1107/S2053229614024218>
69. Dolomanov O.V., Bourhis L.J., Gildea R.J. et al. // J. Appl. Cryst. 2009. V. 42. P. 339. <https://doi.org/10.1107/S0021889808042726>
70. Pretsch E., Clerc T., Seibl J. et al. Tables of spectral data for structure determination of organic compounds. Springer Science & Business Media, 2013.